

FÍSICA III D (62.15)

Guía Resuelta

Segundo Cuatrimestre 2019

g

Índice

1. Radiación de Cuerpo Negro	5
1.1. Ejercicio 1	5
1.2. Ejercicio 2	5
1.3. Ejercicio 3	5
1.4. Ejercicio 4	6
1.5. Ejercicio 5	6
1.6. Ejercicio 6	7
1.7. Ejercicio 7	9
2. Interacción de la radiación con la materia	11
2.1. Ejercicio 1	11
2.2. Ejercicio 2	11
2.3. Ejercicio 3	12
2.4. Ejercicio 4	13
2.5. Ejercicio 5	13
2.6. Ejercicio 6	14
2.7. Ejercicio 7	15
2.8. Ejercicio 8	16
2.9. Ejercicio 9	17
2.10. Ejercicio 10	17
3. Modelos atómicos	18
3.1. Ejercicio 1	18
3.2. Ejercicio 2	18
3.3. Ejercicio 3	19
3.4. Ejercicio 4	20
3.5. Ejercicio 5	21
3.6. Ejercicio 6	22
3.7. Ejercicio 7	24
3.8. Ejercicio 8	25
3.9. Ejercicio 9	26
4. Postulados de de Broglie y Principio de Incertidumbre	26
4.1. Ejercicio 1	26
4.2. Ejercicio 2	27
4.3. Ejercicio 3	27
4.4. Ejercicio 4	28
4.5. Ejercicio 5	29
4.6. Ejercicio 6	30

4.7.	Ejercicio 7	32
4.8.	Ejercicio 8	33
5.	Sistemas multielectronicos	34
5.1.	Ejercicio 1	34
5.2.	Ejercicio 2	35
5.3.	Ejercicio 3	35
5.4.	Ejercicio 4	36
5.5.	Ejercicio 5	36
5.6.	Ejercicio 6	38
5.7.	Ejercicio 7	39
5.8.	Ejercicio 8	41
5.9.	Ejercicio 9	44
5.10.	Ejercicio 10	45
5.11.	Ejercicio 11	45
5.12.	Ejercicio 12	47
6.	Teoría cuántica del electrón libre	47
6.1.	Ejercicio 1	47
6.2.	Ejercicio 2	48
6.3.	Ejercicio 3	49
6.4.	Ejercicio 4	50
6.5.	Ejercicio 5	51
7.	Teoría de bandas	51
7.1.	Ejercicio 1	51
7.2.	Ejercicio 2	51
7.3.	Ejercicio 3	51
7.4.	Ejercicio 4	52
7.5.	Ejercicio 5	53
7.6.	Ejercicio 6	55
7.7.	Ejercicio 8	55
8.	Semiconductores	55
8.1.	Ejercicio 1	55
9.	Juntura p-n	55
9.1.	Ejercicio 1	55
9.2.	Ejercicio 2	60
9.3.	Ejercicio 3	61
9.4.	Ejercicio 4	61
9.5.	Ejercicio 5	62

9.6. Ejercicio 6	63
9.7. Ejercicio 7	64
9.8. Ejercicio 8	65
9.9. Ejercicio 9	65
10. Apendice	66
10.1. Guía 6	66

1. Radiación de Cuerpo Negro

1.1. Ejercicio 1

- $F_B(E) = A \exp(\frac{-E}{k_B T})$

- $\int_{-\infty}^{\infty} F_B(E) \cdot dE = 1$

$$\begin{aligned} \int_{-\infty}^{\infty} F_B(E) \cdot dE &= \int_{-\infty}^{\infty} A \exp(\frac{-E}{k_B T}) \cdot dE = \\ A \int_0^{\infty} \exp(\frac{-E}{k_B T}) \cdot dE &= A(-k_B T)(0 - 1) = A k_B T = 1 \\ \Rightarrow A &= \frac{1}{k_B T} \end{aligned}$$

1.2. Ejercicio 2

$$\begin{aligned} \langle E \rangle &= \frac{\int_0^{\infty} A E \exp(\frac{-E}{k_B T}) \cdot dE}{\int_0^{\infty} A \exp(\frac{-E}{k_B T}) \cdot dE} = \int_0^{\infty} A E \exp(\frac{-E}{k_B T}) \cdot dE = \\ A \int_0^{\infty} E \exp(\frac{-E}{k_B T}) \cdot dE &= A[0 + (k_B T)^2] = \frac{1}{k_B T} (k_B T)^2 = k_B T \end{aligned}$$

1.3. Ejercicio 3

- $F_{MB}(v_x) = \sqrt{\frac{m}{2\pi kT}} \exp(\frac{-mv_x^2}{2kT})$

- $E_c = \frac{1}{2} m v_x^2 \quad (2)$

$$\begin{aligned}
\langle v_x^2 \rangle &= \frac{\int_0^\infty \sqrt{\frac{m}{2\pi kT}} \exp\left(\frac{-mv_x^2}{2kT}\right) v_x^2 \cdot dv_x}{\int_0^\infty \sqrt{\frac{m}{2\pi kT}} \exp\left(\frac{-mv_x^2}{2kT}\right) \cdot dv_x} = \\
&= \frac{\int_0^\infty \exp\left(\frac{-mv_x^2}{2kT}\right) v_x^2 \cdot dv_x}{\int_0^\infty \exp\left(\frac{-mv_x^2}{2kT}\right) \cdot dv_x} = \frac{\frac{\sqrt{\pi}}{4\frac{m}{2kT}\sqrt{\frac{m}{2kT}}}}{\frac{\sqrt{\pi}}{2\sqrt{\frac{m}{2kT}}}} = \frac{\cancel{\sqrt{\pi}} 2 \cancel{\sqrt{\frac{m}{2kT}}}}{\cancel{\sqrt{\pi}} 4 \frac{m}{2kT} \cancel{\sqrt{\frac{m}{2kT}}}} \\
&= \frac{2 * 2kT}{4m} = \frac{kT}{m} \\
\langle E_c \rangle &= \langle \frac{1}{2}mv_x^2 \rangle = \frac{1}{2}m \langle v_x^2 \rangle = \\
&= \frac{1}{2}m \frac{kT}{m} = \frac{kT}{2}
\end{aligned}$$

1.4. Ejercicio 4

Temperatura del cuerpo negro: $T = (1000 \pm 3)K$

Radiancia total: $R_T = \varepsilon \sigma T^4$

Error Asociado: $\Delta R_T = 4\varepsilon \sigma T^3 \Delta T$

$$R_T = (5,6704 \times 10^4 \pm 680) \frac{W}{m^2}$$

1.5. Ejercicio 5

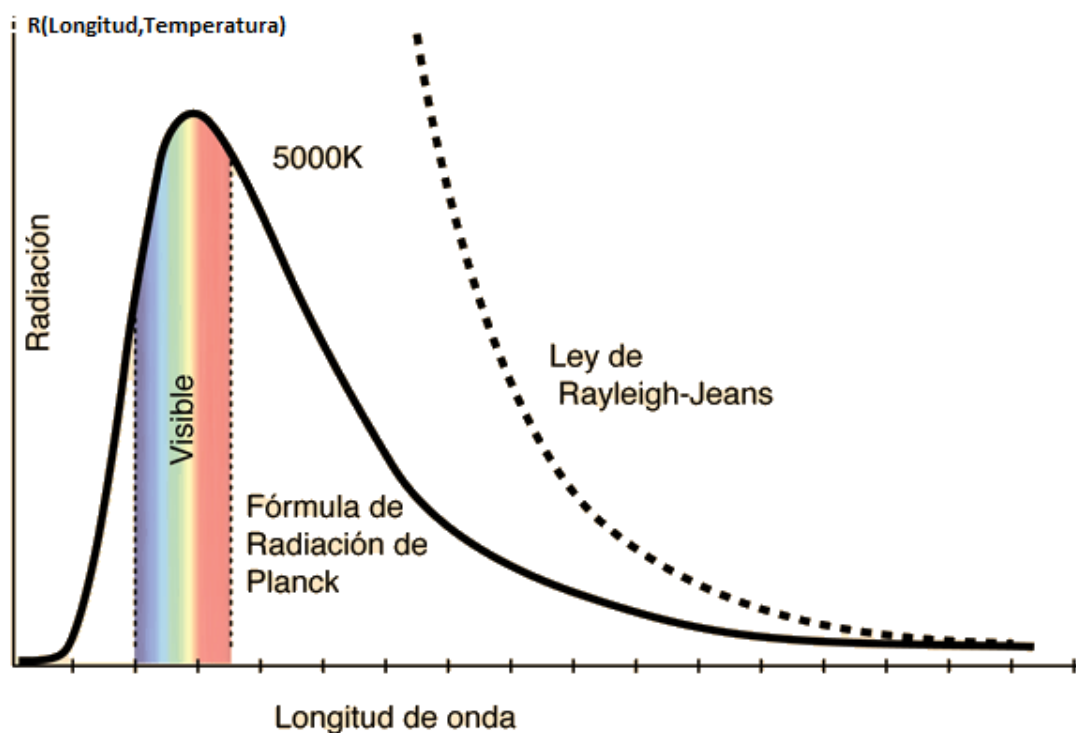
$$\lambda_{max} = 5100 \text{Å}$$

1)

Ley de desplazamiento de wein:

$$\begin{aligned}
\lambda_{max} T &= b_{Wein} \\
T &= \frac{b_{Wein}}{\lambda_{max}} \\
T &\approx 5682K
\end{aligned}$$

2)



3)

$\lambda = (5750 \pm 1750)\text{\AA}$; $T = 5682K$ (temperatura del sol)

$$R_\lambda = \int_{4000\text{\AA}}^{7500\text{\AA}} R(\lambda, T) \cdot d\lambda = *$$

Acá hacemos la aproximación por el rectángulo o algún método numérico.

$$* = (7500\text{\AA} - 4000\text{\AA}) R\left(\frac{7500\text{\AA} + 4000\text{\AA}}{2}, 5682K\right) = (3500\text{\AA}) R(5750\text{\AA}, 5682K) = 25800085,5 \frac{W}{m^2}$$

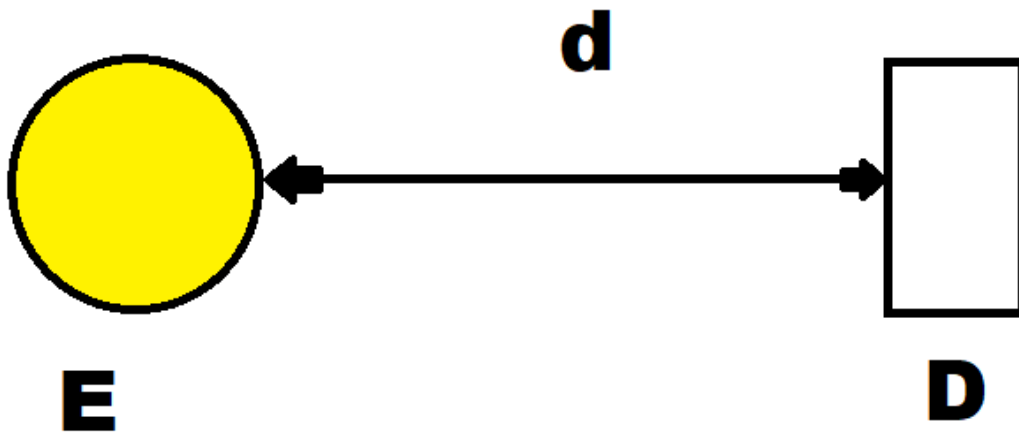
Comentario: $R(\lambda, T)$ esta en la hoja de formulas junto con otras constantes.

1.6. Ejercicio 6

Datos:

- $r_E = 0,1m$
- $d = 1m$

- $\lambda = (0,5 \pm 0,01)\mu m$
- $A_D = 0,0001m^2$
- $P_D = 3 \times 10^{-5}W$



- R_E : Potencia por unidad de área de la esfera.
- P_E : Potencia emitida por la esfera.
- R_{E-d} : Potencia por unidad de área de la esfera-distancia.
- P_D : Potencia recibida por el detector.

$$R_E = \int_{0,49\mu m}^{0,51\mu m} R(\lambda, T) \cdot d\lambda = 0,02\mu m R(0,5\mu m, T)$$

$$P_E = A_E R_E = 4\pi r_E^2 R_E$$

$$R_{E-d} = \frac{P_E}{4\pi(r_E + d)^2}$$

$$P_D = R_{E-d} A_D$$

Obtenemos:

$$P_D = \frac{4\pi r_E^2 (0,02\mu m R(0,5\mu m, T))}{4\pi(r_E + d)^2} A_D$$

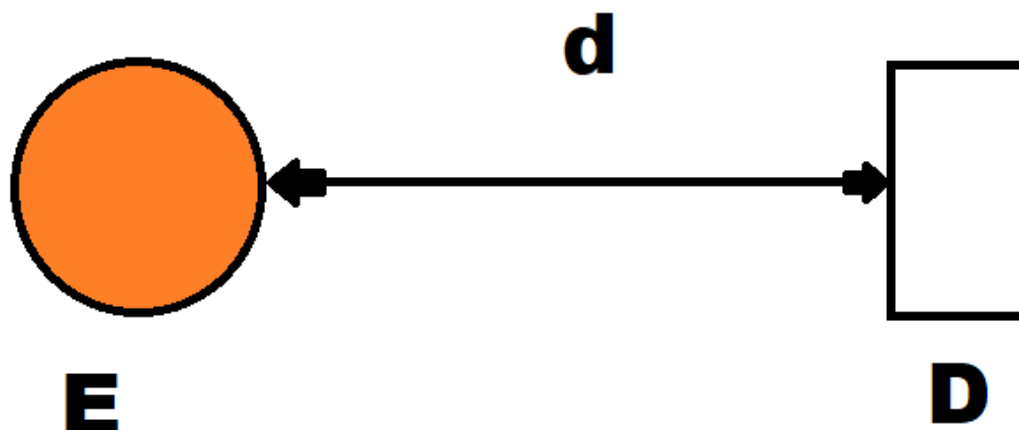
Reemplazo por los datos del problema y un poco de álgebra:

$$T = 1917,2K$$

1.7. Ejercicio 7

Datos:

- $A_D = 0,01m^2$
- $r_E = 0,001m$
- $d = 0,1m$
- $T_E = 1500K$
- $\lambda \in [60, 100]\mu m$



- R_E : Potencia por unidad de área de la esfera.
- P_E : Potencia emitida por la esfera.
- R_{E-d} : Potencia por unidad de área de la esfera-distancia.
- P_D : Potencia recibida por el detector.

$$R_E = \int_{100\mu m}^{60\mu m} R(\lambda, T) \cdot d\lambda = \int_{100\mu m}^{60\mu m} \alpha \frac{T}{\lambda^4} \cdot d\lambda = \frac{1274}{27} \frac{W}{m^2}$$

$$P_E = A_E R_E = 4\pi r_E^2 R_E$$

$$R_{E-d} = \frac{P_E}{4\pi(r_E + d)^2}$$

$$P_D = R_{E-d} A_D$$

Obtenemos:

$$P_D = \frac{4\pi r_E^2 R_E}{4\pi(r_E + d)^2} A_D = 4,6255 \times 10^{-5} = 46,255 \mu m$$

finalmente: $P_D = (46 \pm 5) \mu m$

1) Coincide con el obtenido por Planck ($44 \mu m$) tomando en cuenta el error

2)y3) A longitudes de onda mas chicos la nueva teoría falla, no responde a los valores obtenidos en la practica. Cambiando el detector con un rango mas chico de longitudes refutamos la nueva teoría.

2. Interacción de la radiación con la materia

2.1. Ejercicio 1

Datos:

- $P = 0,35mW$
- $\nu = 8,6x10^{15}Hz$
- $\eta = 10^{-6}$

$$E = h\nu = 5,69842x10^{-18}\frac{J}{f} \text{ Energía de cada fotón}$$

$$K = \frac{P}{E} = \frac{0,00035\frac{J}{s}}{5,69842x10^{-18}\frac{J}{f}} = 6,142x10^{13}\frac{f}{s} \text{ Fotones por seg.}$$

$$N = K\eta = 61420534,11\frac{e}{s} \text{ Electrones por seg.}$$

$$I = Nq = 9,84x10^{-12}\frac{C}{s} = 9,84pA \text{ Corriente eléctrica}$$

Comentario: q: Carga del electrón, $\frac{C}{s} = A, W = \frac{J}{s}$

2.2. Ejercicio 2

Enunciado un poco confuso, consultarlo en clase.

1)

$$E_c^e = h\nu - \omega_0$$

Energía cinetica de los electrones.

2)

Para arrancar electrones la energía del fotón tiene que ser

mayor a la función trabajo ($E_f = h\nu = \frac{hc}{\lambda} > \omega_0$).

$$\lambda = 0,1m; E_f = 0,0000124eV$$

No tenemos suficiente energía para arrancar electrones

2.3. Ejercicio 3

Datos:

- $\omega_0 = 2,13eV$

- $\lambda = 500nm$

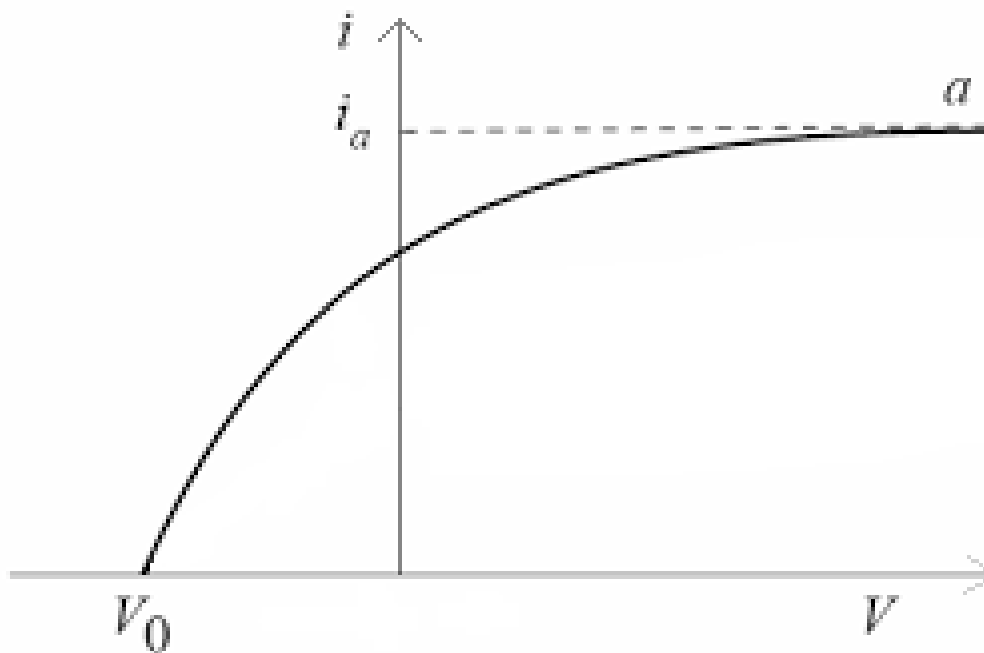
- $N = 10^{10} \frac{e}{s}$

$$E_f = h\nu = 2,48eV, \text{ tengo efecto fotoeléctrico}$$

$$E_c^{max} = E_f - \omega_0 = 0,35eV$$

$$E_c^{max} = eV_0 \Rightarrow V_0 = E_c^{max} \frac{1}{e} = 0,35V \text{ Pot. de frenado}$$

$$I_a = N \cdot q_e = 1,602nA \text{ Corriente de saturación}$$



A menor longitud de onda tengo una mayor energía en los fotones, entonces los electrones tendrán mas energía cinética

2.4. Ejercicio 4

$E_c = 125000 eV$ La energía cinética es comparable a $m_0 c^2$ el problema es relativista.

$$E = m_0 c^2 + E_c$$

$$E^2 = (pc)^2 + (m_0 c^2)^2$$

$$\Rightarrow p = \sqrt{2m_0 E_c + \left(\frac{E_c}{c}\right)^2} = 2,024 \times 10^{-22} \text{ kg } \frac{m}{s}$$

2.5. Ejercicio 5

Datos:

- $\lambda = 1,3249 \text{ \AA}$
- $\lambda' = 1,3461 \text{ \AA}$

1)

$$\lambda' = \lambda + \lambda_C (1 - \cos(\theta))$$

$$\cos(\theta) = 1 - \frac{\lambda' - \lambda}{\lambda_C} \Rightarrow \theta = 82,671^\circ$$

2)

$$p = p' \cos(\theta) + p_e \cos(\varphi)$$

$$0 = p' \sin(\theta) - p_e \sin(\varphi)$$

$$p_e \cos(\varphi) = p - p' \cos(\theta)$$

$$p_e \sin(\varphi) = p' \sin(\theta)$$

$$\Rightarrow \tan(\varphi) = \frac{p' \sin(\theta)}{p - p' \cos(\theta)} \Rightarrow \varphi = 48,15^\circ$$

3)

Tenemos que plantear conservación de la energía.

$$\begin{aligned}
 E_i^f + E_i^e &= E_f^f + E_f^e \\
 h\nu + m_0^e c^2 &= h\nu' + E_T^e \\
 h\nu + m_0^e c^2 &= h\nu' + m_0^e c^2 + E_c^e \\
 \Rightarrow E_c^e &= h\nu - h\nu' = 147,38 \text{ eV}
 \end{aligned}$$

4)

Para consultarlo en clase.

2.6. Ejercicio 6

Datos:

$$\blacksquare \nu = 3 \times 10^{18} \Rightarrow \lambda = 1 \text{ Å}$$

1)

$$\begin{aligned}
 p &= p' \cos(\theta) + p_e \cos(\varphi) \\
 0 &= p' \sin(\theta) - p_e \sin(\varphi) \\
 \text{En la misma dirección: } \theta &= \varphi \\
 p &= 2p' \cos(\theta) \\
 p_e &= p' \\
 \Rightarrow \cos(\theta) &= \frac{p}{2p'} = \frac{\frac{h}{\lambda}}{2\frac{h}{\lambda'}} = \frac{\lambda'}{2\lambda} \quad (1)
 \end{aligned}$$

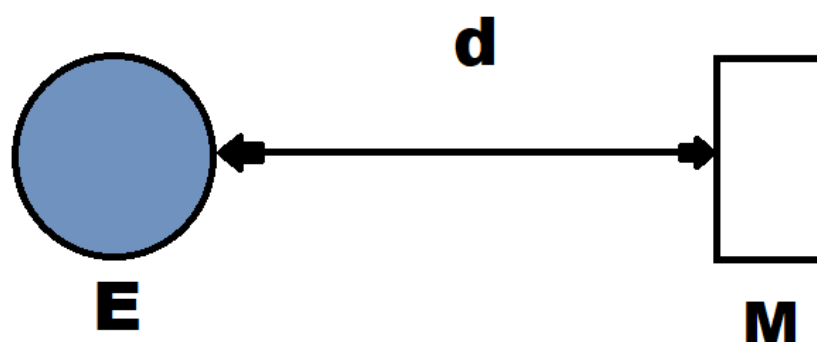
reemplazamos (1) en:

$$\begin{aligned}
 \lambda' &= \lambda + \lambda_C(1 - \cos(\theta)) \\
 \lambda' &= \lambda + \lambda_C(1 - \frac{\lambda'}{2\lambda}) \\
 \Rightarrow \lambda' &= \frac{2\lambda^2 + 2\lambda\lambda_c}{2\lambda + \lambda_c} = 1,012 \text{ Å}
 \end{aligned}$$

2)

$$E_c^e = h\nu - h\nu' = 147eV$$

2.7. Ejercicio 7



1)

Para calcular la potencia sobre el metal hacemos lo mismo que en la guía 1 entonces $P_M = 9,885 \times 10^{-11} W = 98,85 pW$

2)

Energía de los fotones, $E_f = h\nu = h\frac{c}{\lambda} = 1,77eV$

a)

$E_f > \omega_0$ Tengo efecto fotoeléctrico, se liberan electrones

$$K = \frac{P_M}{E_f} = \frac{9,885 \times 10^{-11} \frac{J}{s}}{2,836 \times 10^{-19} \frac{J}{f}} = 348572445,5 \frac{f}{s} \text{ Fotones por seg.}$$

$$N = K\eta = 348572445,5 \frac{e}{s} \text{ Electrones por seg.}$$

$$I = Nq = 5,585 \times 10^{-11} \frac{C}{s} = 55,85 pA \text{ Corriente eléctrica}$$

b)

$E_f < \omega_0$ No tengo efecto fotoeléctrico, no se liberan electro-

nes entonces $I = 0A$

2.8. Ejercicio 8

Datos:

- $\theta = 30^\circ$
- $E_c^e = 50KeV$

$$\lambda' = \lambda + \lambda_C(1 - \cos(\theta))$$

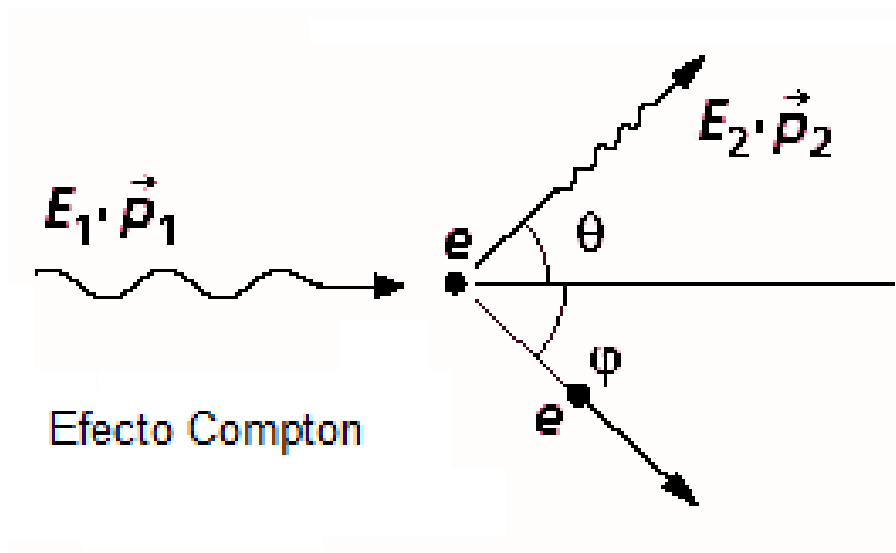
$$E_c^e = h\nu - h\nu'$$

Con los datos:

$$\lambda' = \lambda + \lambda_C \frac{2 - \sqrt{3}}{2}$$

$$50KeV = h\nu - h\nu' = hc\left(\frac{1}{\lambda} - \frac{1}{\lambda'}\right)$$

$$\Rightarrow \lambda' = 0,03\text{\AA}, \lambda = 0,0268\text{\AA}$$



2.9. Ejercicio 9

1)

Planteamos conservación de la energía.

$$E_f + m_0 c^2 = E'_f + m_0 c^2 + E_c^e$$

$$E_f = E'_f + E_c^e \Rightarrow E_c^e \text{ Máxima; } E_f^f \text{ Mínima}$$

$$E'_f = h\nu' = \frac{hc}{\lambda'} \text{ es mínima para } \lambda' \text{ máximo}$$

$$\overbrace{\lambda'}^{\text{máximo}} = \lambda + \lambda_c (1 - \underbrace{\cos(\theta)}_{\text{mínimo}}) \Rightarrow \cos(\theta) = -1 \Rightarrow \theta = \pi$$

2)

Planteamos conservación del momento

$$\overline{p}_f + \overline{p}_e = \overline{p}'_f + \overline{p}'_e$$

$$\overline{p}_f + \overline{p}_e = \overline{p}'_f + \overline{p}'_e$$

$$\overline{p}_f = \overline{p}'_f + \overline{p}'_e \Rightarrow \overline{p}'_e \text{ Máxima; } \overline{p}'_f \text{ Mínima}$$

$$\overbrace{E^2}^{\text{máximo}} = \underbrace{(p'_e c)^2}_{\text{máximo}} + (m_0 c^2)^2$$

$$\Rightarrow \underbrace{E}_{\text{máximo}} = m_0 c^2 + \overbrace{E_c^e}^{\text{máximo}}$$

Llegamos al a lo mismo que el inciso 1) entonces $\theta = \pi$

2.10. Ejercicio 10

Consultarlo en clase.

3. Modelos atómicos

3.1. Ejercicio 1

Consultarlo en clase.

3.2. Ejercicio 2

$$\frac{1}{\lambda} = R_n z^2 \left(\frac{1}{n_i^2} - \frac{1}{n_f^2} \right)$$

Serie de Lyman: $n_i = 1$; $n_f > 1$ UV

Serie de Balmer: $n_i = 2$; $n_f > 2$ Visible

Serie de Paschen: $n_i = 3$; $n_f > 3$ Infrarojo

Serie de Bracket: $n_i = 4$; $n_f > 4$ Infrarojo lejano

Serie de Pfund: $n_i = 5$; $n_f > 5$ Infrarojo mas lejano

1)

Consultarlo en clase

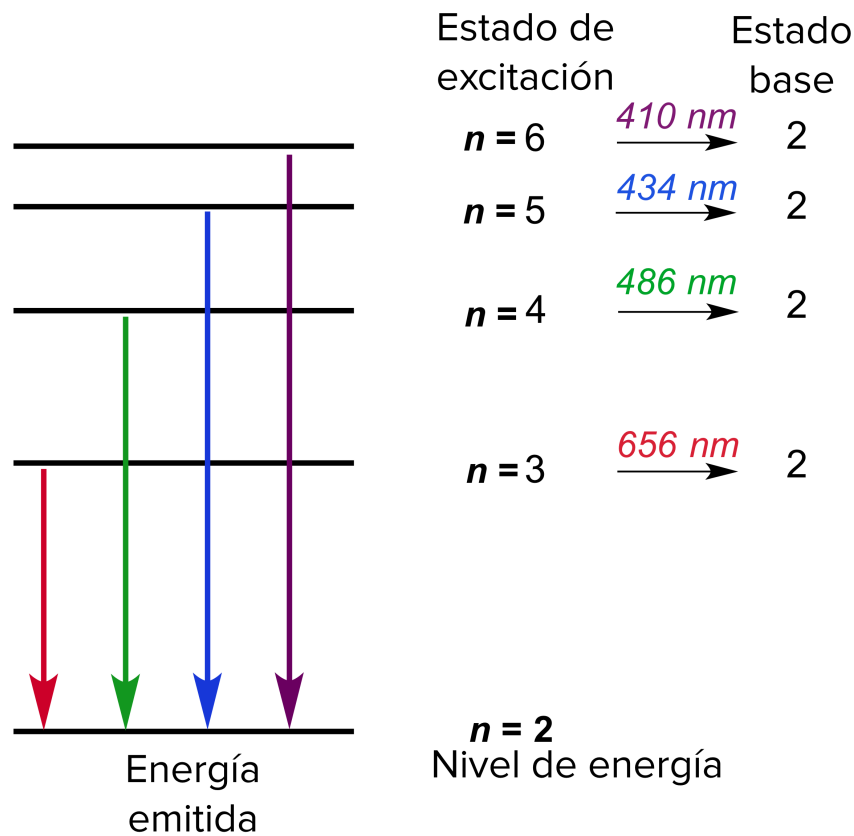
2)

$R_n = 1,097 \times 10^7 m^{-1}$ Constante de Rydberg

$$\lambda = \left(R_n z^2 \left(\frac{1}{n_i^2} - \frac{1}{n_f^2} \right) \right)^{-1}$$

Serie de Balmer, $Z=1$, $n_i = 2$

$$\lambda = \left(R_n \left(\frac{1}{4} - \frac{1}{n_f^2} \right) \right)^{-1}$$



3.3. Ejercicio 3

$$Z=1, n_i = 1, n_f = 3$$

$$\lambda = (R_n(1 - \frac{1}{9}))^{-1} = 102,55nm$$

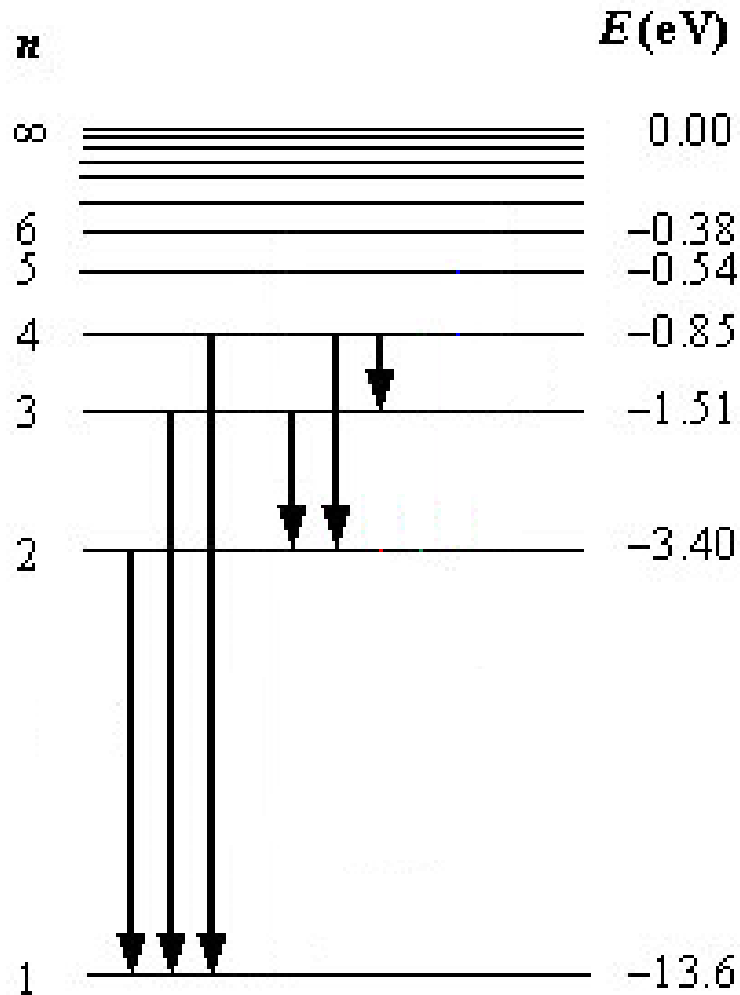
Energía del fotón emitido:

$$E_f = h\nu = \frac{hc}{\lambda} = 12eV$$

Momento del fotón:

$$p = \frac{h}{\lambda} = 6,461 \times 10^{-27} kg \frac{m}{s}$$

3.4. Ejercicio 4



$$E_n = -13,6eV \frac{Z^2}{n^2}$$

Los electrones al desexcitarse pasan a los estados que se ven en la figura anterior, emiten fotones de energía $E_f = E_i - E_j$ 1)

Al excitar con fotones, estos entregan toda su energía entonces los fotones tienen que tener una energía $E_f = E_4 - E_1 = (-0,85eV) - (-13,6eV) = 12,75eV$, la frecuencia es única

$$\nu = \frac{E_f}{h} = 3,083 \times 10^{15} \text{ Hz}$$

2)

Al excitar con electrones, estos pueden entregar toda o parte de su energía. Para llevar al sistema al estado $n = 4$ como mínimo necesito que tenga energía: $E_f = E_4 - E_1 = (-0,85 \text{ eV}) - (-13,6 \text{ eV}) = 12,75 \text{ eV}$ y como máximo $E_f = E_5 - E_1 = (-0,54 \text{ eV}) - (-13,6 \text{ eV}) = 13,06 \text{ eV}$, entonces $E_e \in [12,75 \text{ eV}, 13,06 \text{ eV})$

3.5. Ejercicio 5

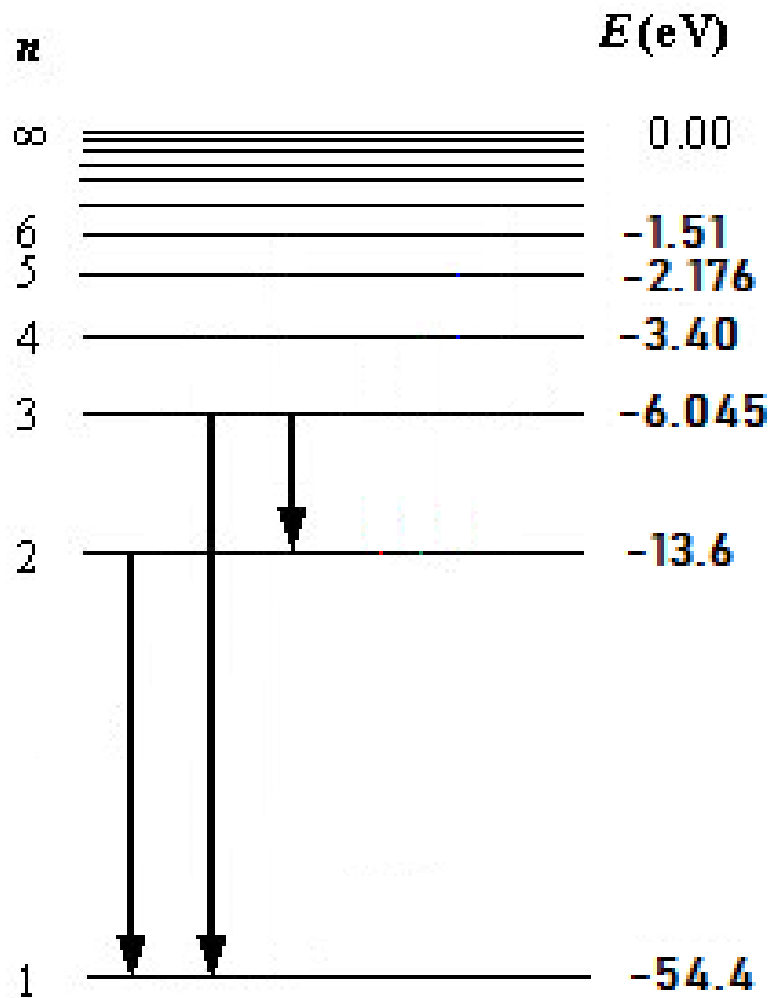
Helio simplemente ionizado He^+ , $Z = 2$, $E_n = \frac{-54,4 \text{ eV}}{n^2}$

1)

Los electrones entregan toda o parte de su energía. Podemos excitar los electrones del nivel fundamental ($n = 1$) a los niveles:

- $n = 2$, (Primer estado excitado), $E_{1-2} = E_2 - E_1 = 40,8 \text{ eV}$
- $n = 3$, (Segundo estado excitado), $E_{1-3} = E_3 - E_1 = 48,355 \text{ eV}$

Al desexcitarse el sistema trata de volver al estado fundamental, por lo que emitirá fotones como se muestra en la siguiente figura



2)

El sistema no puede excitarse por que el fotón entrega toda su energía y no tenemos un salto de energía (E_{1-j}) igual a la energía de los fotones.

3.6. Ejercicio 6

1)

Los electrones entregan toda o parte de su energía, calculo la energía de los saltos entre estados.

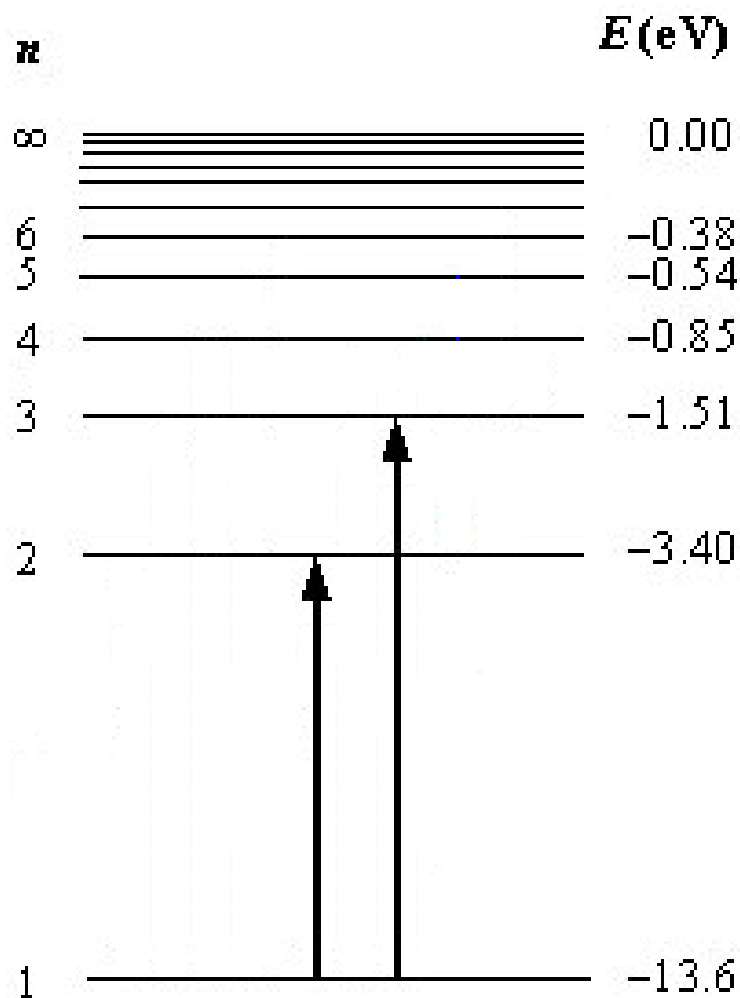
- $n = 1 \rightarrow n = 2, E_{1-2} = E_2 - E_1 = 10,2eV$

■ $n = 1 \rightarrow n = 3$, $E_{1-2} = E_3 - E_1 = 12,09eV$

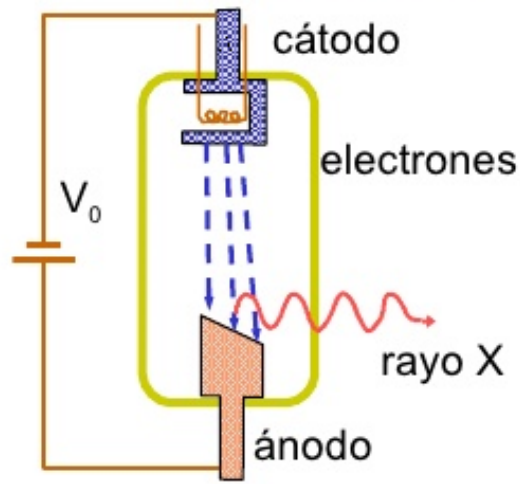
El estado de mayor energía al que llegan es $n = 3$, $E_3 = -1,51eV$

2)

Los fotones entregan toda su energía, en este caso el sistema no se excita por que no tenemos saltos de energía $E_{1-j} = E_j - E_1$ igual a la energía de los fotones ($E_f = 12,4eV$)



3.7. Ejercicio 7



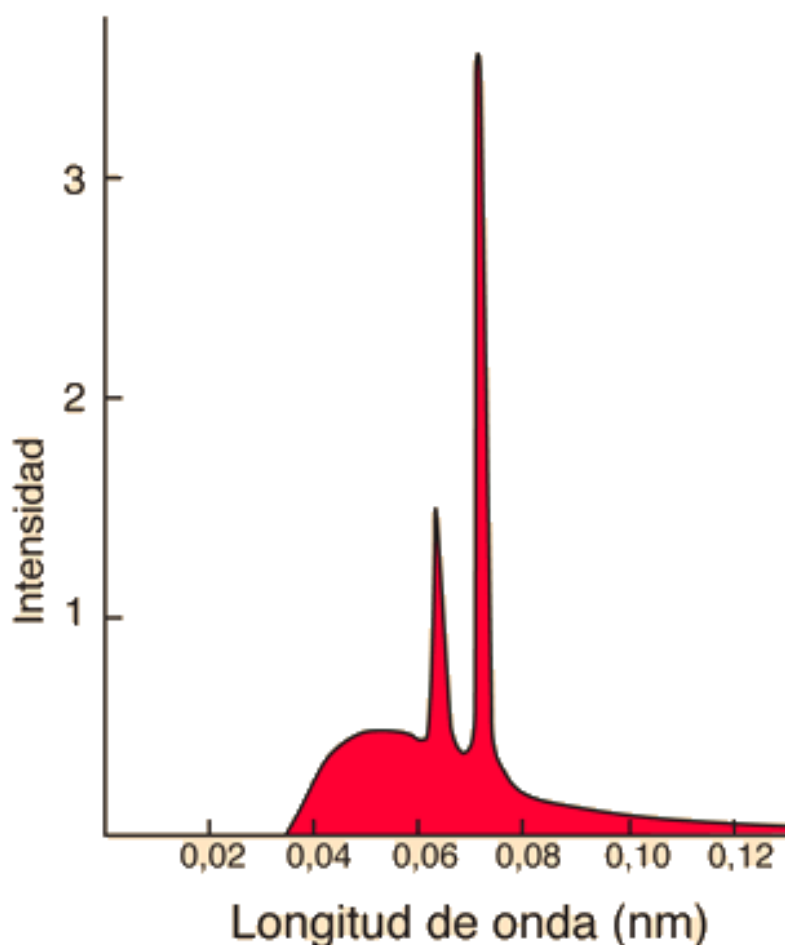
$$E_c^i - E_c^f = h\nu$$

$$\text{si } E_c^f = 0 \Rightarrow \nu = \nu_{max}$$

$$E_c^i = h\nu_{max} = \frac{hc}{\lambda_{min}}$$

$$\Rightarrow \lambda_{min} = \frac{hc}{E_c^i} = \frac{hc}{qV_0} = 0,31\text{\AA}$$

2)



Forma un espectro continuo. Además de esta componente continua, el espectro de rayos X está formado también por una parte discreta en forma de picos de gran intensidad que se superponen a la primera. Estos picos se denominan radiación característica, ya que su posición dentro del espectro depende del material del ánodo, y más concretamente de su número atómico (número de protones de cada átomo).

3.8. Ejercicio 8

Hacemos lo mismo que el punto anterior.

$$\lambda_{min} = \frac{hc}{E_c^i} = \frac{hc}{qV_0} = \frac{hc}{2eV_0} = 0,31\text{\AA}$$

3.9. Ejercicio 9

K_α : líneas espectrales

Transición $n_i = 2 \rightarrow n_f = 1$, $Z_{Cu} = 29$

$$\lambda = (R_n z^2 (1 - \frac{1}{4}))^{-1} = 1,445 \text{Å}$$

Tenemos un error mínimo, el cálculo de λ no encaja con el modelo de Bohr

4. Postulados de de Broglie y Principio de Incertidumbre

4.1. Ejercicio 1

1)

Datos:

- $m = 55g = 0,055kg$

- $v = 10 \frac{m}{s}$

$$\lambda = \frac{h}{p} = \frac{h}{mv} = 1,205 \times 10^{-33} m$$

2)

Datos:

- $E_c = 100eV$

$$\lambda = \frac{h}{p} = \frac{h}{\sqrt{2mE_c}} = 1,2264 \times 10^{-10} m$$

3)

A masas muy chicas tengo longitudes de onda de de Broglie mayores.

Comentario: Problema clásico por que $E_c \ll m_0 c^2$

4.2. Ejercicio 2

Datos:

- $\lambda = 300nm$
- $\omega_0 = 2,13eV$

Tenemos que ver si hay efecto fotoeléctrico ($E_f > \omega_0$)

$$E_f = \frac{hc}{\lambda} = 4,13eV$$

$$E_c^e = E_f - \omega_0 = 4,13eV - 2,13eV = 2eV$$

$$\Rightarrow \lambda = \frac{h}{p} = \frac{h}{\sqrt{2mE_c}} = 8,67 \times 10^{-10}m$$

Potencial de frenado: $E_c^e = eV_0 \Rightarrow V_0 = 2V$

Comentario: Problema clásico por que $E_c \ll m_0c^2$

4.3. Ejercicio 3

Datos:

- $\lambda = 0,709\text{\AA}$
- $\lambda' = 0,733\text{\AA}$

$$p = p' \cos(\theta) + p_e \cos(\varphi)$$

$$0 = p' \sin(\theta) - p_e \sin(\varphi)$$

$$\theta = 90^\circ$$

$$p = p_e \cos(\varphi)$$

$$0 = p' - p_e \sin(\varphi) \Rightarrow p' = p_e \sin(\varphi)$$

Entonces

$$p_e = \sqrt{p^2 + p'^2} = \sqrt{\left(\frac{h}{\lambda}\right)^2 + \left(\frac{h}{\lambda'}\right)^2} = 1,3 \times 10^{-23} \text{ kg} \frac{m}{s}$$

Longitud de onda de de Broglie:

$$\lambda = \frac{h}{p_e} = 0,51 \text{ \AA}$$

4.4. Ejercicio 4

$$Y_1 = A_0 \sin(w_1 t - k_1 x)$$

$$Y_2 = A_0 \sin(w_2 t - k_2 x)$$

$$Y_1 + Y_2 = A_0 (\sin(w_1 t - k_1 x) + \sin(w_2 t - k_2 x))$$

$$= A_0 2 \cos\left(\frac{w_1 t - k_1 x - w_2 t + k_2 x}{2}\right) \sin\left(\frac{w_1 t - k_1 x + w_2 t - k_2 x}{2}\right)$$

$$= A_0 2 \cos\left(\frac{(w_1 - w_2)t + (k_2 - k_1)x}{2}\right) \sin\left(\frac{(w_1 + w_2)t - (k_1 + k_2)x}{2}\right)$$

$$= A_0 2 \cos\left(\frac{\Delta W t}{2} - \frac{\Delta K x}{2}\right) \sin(W t - K x)$$

$$W = \frac{w_1 + w_2}{2}; K = \frac{k_1 + k_2}{2}; \Delta W = |w_1 - w_2|; \Delta K = |k_1 - k_2|$$

$$\text{Velocidad de fase: } \frac{W}{K} = \frac{w_1 + w_2}{k_1 + k_2}$$

$$\text{Velocidad de grupo: } \frac{\frac{\Delta W}{2}}{\frac{\Delta K}{2}} = \frac{|w_1 - w_2|}{|k_1 - k_2|}$$

4.5. Ejercicio 5

$$E_c \ll m_0 c^2, \text{ Problema clásico, } \Rightarrow E_c = \frac{p^2}{2m}$$

$$\langle E_c \rangle = \langle \frac{p^2}{2m} \rangle = \frac{\langle p^2 \rangle}{2m}$$

$$E = -E_c \text{ por Bohr}$$

1)

$$d = 1 \times 10^{-10} m \Rightarrow \Delta x = 1 \times 10^{-10} m$$

Partícula confinada ($\langle p \rangle = 0$)

$$\Delta p = \sqrt{\langle p^2 \rangle - \langle p \rangle^2} \Rightarrow \Delta p^2 = \langle p^2 \rangle$$

Principio de incertidumbre de Heisenberg

$$\Delta p \Delta x \geq \frac{\hbar}{2}$$

$$\Delta p \geq \frac{\hbar}{2\Delta x}$$

$$\Delta p^2 \geq \left(\frac{\hbar}{2\Delta x}\right)^2$$

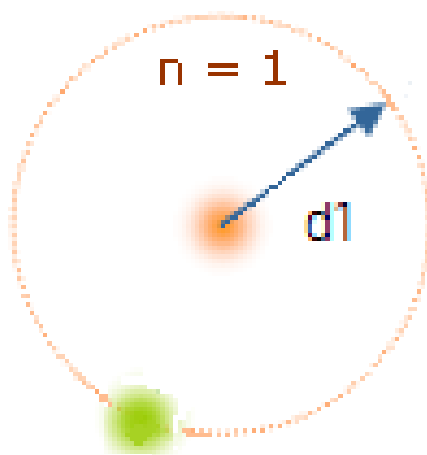
$$\langle p^2 \rangle \geq \left(\frac{\hbar}{2\Delta x}\right)^2$$

$$\frac{\langle p^2 \rangle}{2m} \geq \left(\frac{\hbar}{2\Delta x}\right)^2 \frac{1}{2m}$$

$$E_c \geq \left(\frac{\hbar}{2\Delta x}\right)^2 \frac{1}{2m} = 0,95 eV$$

$$E \leq -0,95 eV \text{ Electrón ligado}$$

2)



Estado fundamental ($n = 1$) átomo de H, $E_1 = -13,6eV$.
 $E_1 < -0,95eV$ no viola el principio de incerteza.

3)

Hacemos lo mismo que el punto 1), tenemos $\Delta x = 1 \times 10^{-14} \Rightarrow$
 $E \leq -95249544eV$ (Electrón muy ligado)

4)

$E = -1000000eV > -95249544eV$ viola el principio de incerteza, el electrón no puede ser confinado.

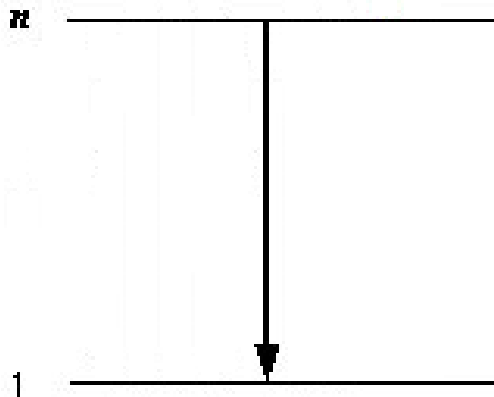
4.6. Ejercicio 6

El enunciado tendría que decir:

Si Δt es la vida media del electrón en un estado de energía al fundamental..... Datos:

- $\Delta \nu = 20MHz$

Principio de incerteza $\Delta E \Delta t \geq \frac{\hbar}{2}$



Libera un fotón $h\nu = E_n - E_1 \Rightarrow \nu = \frac{E_n}{h} - \frac{E_1}{h}$

$$\Delta E_1 \Delta t_1 \geq \frac{\hbar}{2}; \Delta t_1 = \infty$$

$$\Delta E_1 \geq \frac{\hbar}{2\Delta t_1} \Rightarrow \Delta E_1 = 0 \quad (1)$$

$$\Delta \nu = \frac{\Delta E_n}{h} + \frac{\Delta E_1}{h} \quad \text{Reemplazamos el valor de (1)}$$

$$\Delta \nu = \frac{\Delta E_n}{h}$$

Utilizamos el principio de incerteza:

$$\Delta E_n \Delta t_n \geq \frac{\hbar}{2}$$

$$\Delta E_n \Delta t_n \frac{1}{h} \geq \frac{\hbar}{2h}$$

$$\Delta \nu \Delta t_n \geq \frac{\hbar}{2h}$$

$$\frac{\Delta \nu 2h}{\hbar} \geq \frac{1}{\Delta t_n} = A$$

El máximo lo tengo en $A = \frac{\Delta \nu 2h}{\hbar}$

4.7. Ejercicio 7

1)

Datos:

- $\Delta x = 1 \times 10^{-6} m$
- $m = 6 \times 10^{22} kg$
- $v = 1000 \frac{m}{s}$

Como $v \ll c$ el problema es clásico entonces $p = mv$

$$\Delta x \Delta p \geq \frac{\hbar}{2}$$

$$\Delta x \Delta p \frac{1}{p} \geq \frac{\hbar}{2p}$$

$$\frac{\Delta p}{p} \geq \frac{\hbar}{2p \Delta x} = 8,79 \times 10^{-55} kg \frac{m}{s}$$

$\frac{\Delta p}{p}$ es muy chico, podemos aplicar trayectoria.
2)

Datos:

- $\Delta x = 1 \times 10^{-10} m$

Estamos en la orbita fundamental $n = 1$, $E = -13,6 eV$ entonces $E_c = -E = 13,6 eV$, $E_c \ll m_0 c^2$ problema clásico

$$p = \sqrt{2mE_c} = 2 \times 10^{-24} kg \frac{m}{s}$$

$$\Delta x \Delta p \geq \frac{\hbar}{2}$$

$$\Delta x \Delta p \frac{1}{p} \geq \frac{\hbar}{2p}$$

$$\frac{\Delta p}{p} \geq \frac{\hbar}{2p \Delta x} = 0,264 kg \frac{m}{s}$$

$\frac{\Delta p}{p}$ es muy grande, no podemos aplicar trayectoria.

4.8. Ejercicio 8

Datos:

- $E_c = 20\text{KeV}$

- $v_f = 5 \times 10^4 \frac{m}{s}$

$v_f \ll c$ problema clásico.

1)

Planteo conservación de la energía

$$\begin{aligned} E_i &= E_f \\ E_{ci}^e + m_0 c^2 &= E_{cf}^e + m_0 c^2 + h\nu_f \\ E_{ci}^e &= \frac{1}{2} m v_f^2 + h\nu_f \\ \nu_f &= 4,84 \times 10^{18} \text{Hz} \end{aligned}$$

2)

- electrón libre

- $E_p = 0$

- $\sum f = 0$

- no localizada

$$\Psi(x, t) = A \exp(i(kx - \omega t))$$

$$k = 2\pi \frac{1}{\lambda} = \frac{2\pi p}{h}$$

$$\omega = 2\pi f = 2\pi \frac{p^2}{2mh} = \frac{\pi p^2}{mh}$$

3)

Velocidad de fase: $V_{fase} = \frac{\omega}{k} = \frac{p}{2m} = \frac{v_f}{2}$

Velocidad de grupo: $V_{grupo} = \frac{\delta w}{\delta k} = \frac{\hbar \delta w}{\hbar \delta k} = \frac{\delta E}{\delta p} = \frac{\delta E_c}{\delta p} = \frac{2p}{2m} =$
 v_f acá tenemos $E_p = 0$; $E_c = \frac{p^2}{2m}$

4)

La mas representativa es la velocidad de grupo.

5. Sistemas multielectronicos

5.1. Ejercicio 1

Datos:

- Pozo cubico de lado a
- Electrón libre mas energético $E = \frac{12\hbar^2\pi^2}{2ma^2} = 12E_a$

Energía en el pozo tridimensional:

$$E = \frac{\hbar^2\pi^2}{2m} \left(\frac{n_x^2}{a^2} + \frac{n_y^2}{b^2} + \frac{n_z^2}{c^2} \right) + m_s \frac{e\hbar B}{m}$$

No tenemos presencia de campo magnético $B = 0$ además es un cubo $b = c = a$

$$\begin{aligned} E &= \frac{\hbar^2\pi^2}{2m} \left(\frac{n_x^2}{a^2} + \frac{n_y^2}{a^2} + \frac{n_z^2}{a^2} \right) \\ &= \frac{\hbar^2\pi^2}{2ma^2} (n_x^2 + n_y^2 + n_z^2) \\ &= E_a (n_x^2 + n_y^2 + n_z^2) \end{aligned}$$

1)

En la estadística de Maxwell-Boltzmann los electrones pueden ubicarse con los mismos números cuánticos, voy a tener infinitos electrones.

2)

En el principio de exclusión de Pauli los electrones no pueden tener el mismo estado cuántico (Ir al apéndice para ver los estados cuánticos).



Entonces como máximo voy a tener 22 electrones.

5.2. Ejercicio 2

Potencial cubico de paredes infinitas, sin presencia de campo magnético.

$$E = E_0(n_x^2 + n_y^2 + n_z^2)$$

Vemos los estados cuánticos para los cuales tenemos energía $E = 57E_0$

$$(n_x, n_y, n_z, m_s)$$

$$(4, 4, 5, \pm \frac{1}{2}); (4, 5, 4, \pm \frac{1}{2}); (5, 4, 4, \pm \frac{1}{2})$$

$$(7, 2, 2, \pm \frac{1}{2}); (2, 7, 2, \pm \frac{1}{2}); (2, 2, 7, \pm \frac{1}{2})$$

Contando los estados cuánticos tenemos un orden de degeneración 12.

5.3. Ejercicio 3

Consultarlo en clase

5.4. Ejercicio 4

Consultarlo en clase

5.5. Ejercicio 5

Energía en el pozo tridimensional:

$$E = \frac{\hbar^2 \pi^2}{2m} \left(\frac{n_x^2}{a^2} + \frac{n_y^2}{b^2} + \frac{n_z^2}{c^2} \right) + m_s \frac{e\hbar B}{m}$$

No tenemos presencia de campo magnético $B = 0$ además es un cubo $b = a$; $c = \frac{a}{2}$

$$\begin{aligned} E &= \frac{\hbar^2 \pi^2}{2m} \left(\frac{n_x^2}{a^2} + \frac{n_y^2}{a^2} + \frac{4n_z^2}{a^2} \right) \\ &= \frac{\hbar^2 \pi^2}{2ma^2} (n_x^2 + n_y^2 + 4n_z^2) \\ &= E_a (n_x^2 + n_y^2 + 4n_z^2) \end{aligned}$$

1)

Estados cuánticos con energía entre 0 a $17E_a$

$$\begin{aligned}(n_x, n_y, n_z, m_s) &\rightarrow E \\ (1, 1, 1, \frac{1}{2}) &\rightarrow 6E_a \\ (1, 2, 1, \frac{1}{2}) &\rightarrow 9E_a \\ (2, 1, 1, \frac{1}{2}) &\rightarrow 9E_a \\ (2, 2, 1, \frac{1}{2}) &\rightarrow 12E_a \\ (1, 3, 1, \frac{1}{2}) &\rightarrow 14E_a \\ (3, 1, 1, \frac{1}{2}) &\rightarrow 14E_a \\ (2, 3, 1, \frac{1}{2}) &\rightarrow 17E_a \\ (3, 2, 1, \frac{1}{2}) &\rightarrow 17E_a\end{aligned}$$

Tenemos 8 estados cuánticos

2)

Tenemos 5 niveles de energía en ese rango.

- $6E_a$ degeneración: 1
- $9E_a$ degeneración: 2
- $12E_a$ degeneración: 1
- $14E_a$ degeneración: 2
- $17E_a$ degeneración: 2

5.6. Ejercicio 6

Energía en el pozo tridimensional:

$$E = \frac{\hbar^2 \pi^2}{2m} \left(\frac{n_x^2}{a^2} + \frac{n_y^2}{b^2} + \frac{n_z^2}{c^2} \right) + m_s \frac{e\hbar B}{m}$$

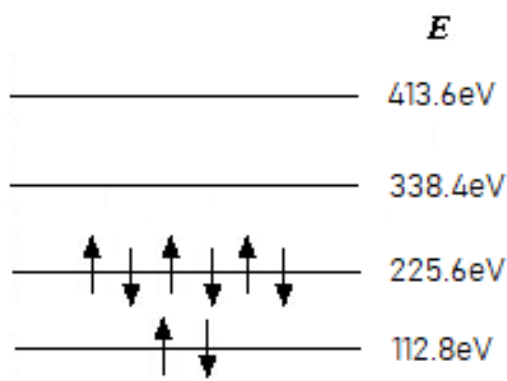
No tenemos presencia de campo magnético $B = 0$ además es un cubo $b = c = a = 1\text{\AA}$

$$\begin{aligned} E &= \frac{\hbar^2 \pi^2}{2m} \left(\frac{n_x^2}{a^2} + \frac{n_y^2}{a^2} + \frac{n_z^2}{a^2} \right) \\ &= \frac{\hbar^2 \pi^2}{2ma^2} (n_x^2 + n_y^2 + n_z^2) \\ &= 37,6\text{eV} (n_x^2 + n_y^2 + n_z^2) \end{aligned}$$

1)

La menor energía la tenemos en el estado $n_x = n_y = n_z = 1 \Rightarrow E = 112,8\text{eV}$. Esta no puede ser cero por que el número cuántico principal (n) no puede ser cero.

2)



La energía del estado fundamental de todo el sistema lo calculamos como $6 * 225,6\text{eV} + 2 * 112,8\text{eV} = 1579,2\text{eV}$

3)

Es la energía del electrón más energético, para este ejercicio es $E_{fermi} = 225,6\text{eV}$

5.7. Ejercicio 7

Energía en el pozo tridimensional:

$$E = \frac{\hbar^2 \pi^2}{2m} \left(\frac{n_x^2}{a^2} + \frac{n_y^2}{b^2} + \frac{n_z^2}{c^2} \right) + m_s \frac{e\hbar B}{m}$$

No tenemos presencia de campo magnético $B = 0$ además es un cubo $b = c = 2a$

$$\begin{aligned} E &= \frac{\hbar^2 \pi^2}{2m} \left(\frac{n_x^2}{a^2} + \frac{n_y^2}{4a^2} + \frac{n_z^2}{4a^2} \right) \\ &= \frac{\hbar^2 \pi^2}{2ma^2} \left(n_x^2 + \frac{n_y^2}{4} + \frac{n_z^2}{4} \right) \\ &= E_a \left(n_x^2 + \frac{n_y^2}{4} + \frac{n_z^2}{4} \right) \end{aligned}$$

1) Estados cuánticos:

$$(n_x, n_y, n_z, m_s) \rightarrow E$$

$$(1, 1, 1, \pm \frac{1}{2}) \rightarrow \frac{3}{2} E_a \quad (1, 1, 2, \pm \frac{1}{2}) \rightarrow \frac{9}{4} E_a$$

$$(1, 2, 1, \pm \frac{1}{2}) \rightarrow \frac{9}{4} E_a \quad (2, 1, 1, \pm \frac{1}{2}) \rightarrow \frac{9}{4} E_a$$

$$(1, 1, 3, \pm \frac{1}{2}) \rightarrow \frac{7}{2} E_a \quad (1, 3, 1, \pm \frac{1}{2}) \rightarrow \frac{7}{2} E_a$$

$$(3, 1, 1, \pm \frac{1}{2}) \rightarrow \frac{19}{2} E_a \quad (2, 2, 2, \pm \frac{1}{2}) \rightarrow 6 E_a$$

$$(2, 2, 1, \pm \frac{1}{2}) \rightarrow \frac{21}{4} E_a \quad (2, 1, 2, \pm \frac{1}{2}) \rightarrow \frac{21}{4} E_a$$

$$(1, 2, 2, \pm \frac{1}{2}) \rightarrow 3 E_a$$

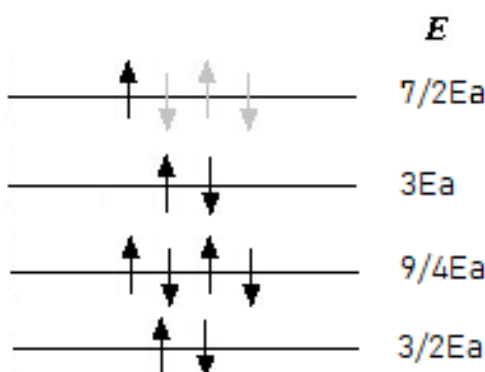
La energía del sistema es la suma de las energías de cada electrón que se encuentran en el pozo con 9 electrones llegamos

a la energía del sistema $E_s = \frac{43\hbar^2\pi^2}{4m} = \frac{43}{2}E_a$

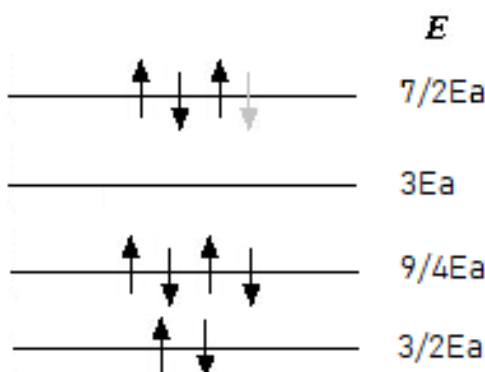
$$E_s = (2 * \frac{3E_a}{2}) + (4 * \frac{9E_a}{4}) + (2 * 3E_a) + (1 * \frac{7E_a}{2}) = \frac{43}{2}E_a$$

2)

Sistema en el estado fundamental



Sistema excitado con fotones de energía $E_f = \frac{\hbar^2\pi^2}{4m} = \frac{1}{2}E_a$



Los fotones solo pueden entregar toda su energía, por lo tanto los electrones solo pueden tener saltos de energía igual a la energía del fotón. La energía sistema excitado (E_{se}) es la suma de la energía de cada electrón.

$$E_{se} = (2 * \frac{3}{2}E_a) + (3 * \frac{9}{4}E_a) + (3 * \frac{7}{2}E_a) = \frac{81}{4}E_a$$

3)

La energía media por electrón (E_{me}) es el cociente entre la energía del sistema y la cantidad de electrones en el sistema. Estado fundamental:

$$E_{me} = \frac{43}{2} E_a / 9e^- = \frac{43}{18} \frac{E_a}{e^-}$$

Estado excitado:

$$E_{me} = \frac{81}{4} E_a / 9e^- = \frac{9}{4} \frac{E_a}{e^-}$$

Comentario: El estado excitado presentado no es único, pueden llegar a ver mas estados excitados, ya que solo nos dice que se irradia con fotones, con presentar uno respondemos lo pedido.

5.8. Ejercicio 8

Energía en el pozo tridimensional:

$$E = \frac{\hbar^2 \pi^2}{2m} \left(\frac{n_x^2}{a^2} + \frac{n_y^2}{b^2} + \frac{n_z^2}{c^2} \right) + m_s \frac{e\hbar B}{m}$$

No tenemos presencia de campo magnético $B = 0$ además es un prisma $b = \frac{a}{\sqrt{2}}, c = a$

$$\begin{aligned} E &= \frac{\hbar^2 \pi^2}{2m} \left(\frac{n_x^2}{a^2} + \frac{n_y^2}{\frac{a^2}{2}} + \frac{n_z^2}{a^2} \right) \\ &= \frac{\hbar^2 \pi^2}{2ma^2} (n_x^2 + 2n_y^2 + n_z^2) \\ &= E_a (n_x^2 + 2n_y^2 + n_z^2) \end{aligned}$$

Estados cuánticos:

$$(n_x, n_y, n_z, m_s) \rightarrow E$$

$$(1, 1, 1, \pm \frac{1}{2}) \rightarrow 4E_a \quad (1, 1, 2, \pm \frac{1}{2}) \rightarrow 7E_a$$

$$(1, 2, 1, \pm \frac{1}{2}) \rightarrow 10E_a \quad (2, 1, 1, \pm \frac{1}{2}) \rightarrow 7E_a$$

$$(1, 1, 3, \pm \frac{1}{2}) \rightarrow 12E_a \quad (1, 3, 1, \pm \frac{1}{2}) \rightarrow 20E_a$$

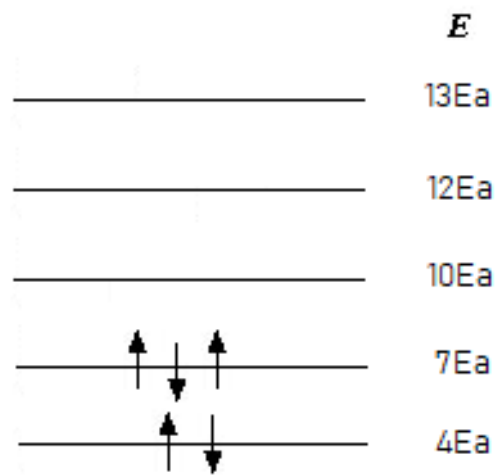
$$(3, 1, 1, \pm \frac{1}{2}) \rightarrow 12E_a \quad (2, 2, 2, \pm \frac{1}{2}) \rightarrow 16E_a$$

$$(2, 2, 1, \pm \frac{1}{2}) \rightarrow 13E_a \quad (2, 1, 2, \pm \frac{1}{2}) \rightarrow 10E_a$$

$$(1, 2, 2, \pm \frac{1}{2}) \rightarrow 13E_a$$

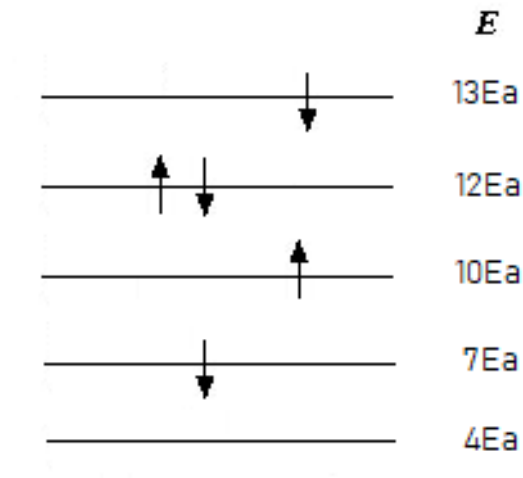
1)

Estado fundamental:



$$\text{Energía del sistema } E_s = 2 * 4E_a + 3 * 7E_a = 29E_a$$

Estado excitado:



$$\begin{aligned} \text{Energía del sistema } E_{se} &= 7E_a + 10E_a + 2 * 12E_a + 13E_a \\ &= 54E_a \end{aligned}$$

Tenemos una diferencia de energía $E_{se} - E_s = 25E_a$

2)

No podemos llegar a ese estado excitado con radiación monocromática (fotones con una sola longitud de onda), la diferencia entre niveles no es la misma. Para llegar a ese estado excitado necesitaríamos fotones con distinta energía o podemos irradiar al sistema con electrones.

3)

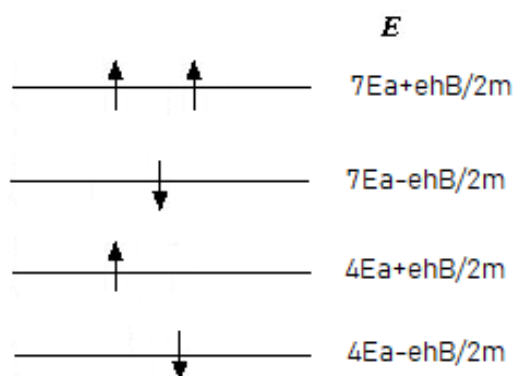
Estados cuánticos del sistema excitado:

$$\begin{array}{lcl}
 (n_x, n_y, n_z, m_s) & & \\
 (1, 1, 2, -\frac{1}{2}) & o & (2, 1, 1, -\frac{1}{2}) \rightarrow E_2 \\
 (1, 2, 1, +\frac{1}{2}) & o & (2, 1, 2, +\frac{1}{2}) \rightarrow E_3 \\
 (1, 1, 3, \pm\frac{1}{2}) & o & (3, 1, 1, \pm\frac{1}{2}) \rightarrow E_4 \\
 (2, 2, 1, -\frac{1}{2}) & o & (1, 2, 2, -\frac{1}{2}) \rightarrow E_5
 \end{array}$$

4)

La energía de fermi es la energía de electrón mas energético. Entonces la cantidad máxima de electrones es la suma de los electrones que pueden estar en los niveles hasta el nivel 5 inclusive, $n_{max} = 2 + 4 + 4 + 4 + 4 = 14$ electrones

5)



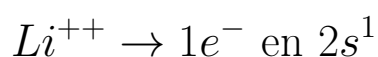
5.9. Ejercicio 9

1)

$$1s^2 - 2s^1$$

2)

Hidrogenoide



$$E_{ion} = 13,6eV \frac{Z^2}{n^2} = 13,6eV \frac{3^2}{2^2} = 30,6eV$$

3)

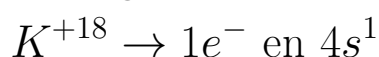
$$E_{ion}^{exp} = 5,39eV = 13,6eV \frac{Z_{ef}^2}{4} \Rightarrow Z_{ef} = 1,26$$

También la carga efectiva la podemos calcular como $Z_{ef} = Z - s$ donde s es el factor de apantallamiento.

4)

$$1s^2 - 2s^2 - 2p^6 - 3s^2 - 3p^6 - 4s^1$$

Hidrogenoide



$$E_{ion} = 13,6eV \frac{Z^2}{n^2} = 13,6eV \frac{19^2}{4^2} = 306,85eV$$

$$E_{ion}^{exp} = 4,34eV = 13,6eV \frac{Z_{ef}^2}{16} \Rightarrow Z_{ef} = 2,26$$

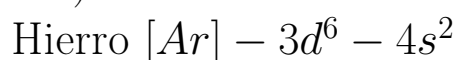
El electrón que esta en $4s$ esta viendo $Z_{ef} = 2,26$ electrones por que tengo una cascara de apantallamiento.

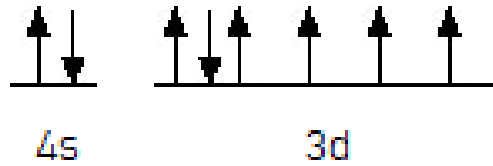
5.10. Ejercicio 10

Consultarlo en clase

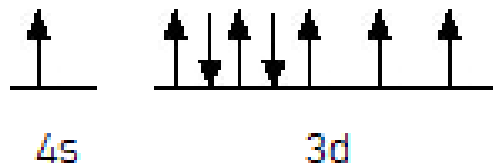
5.11. Ejercicio 11

1)





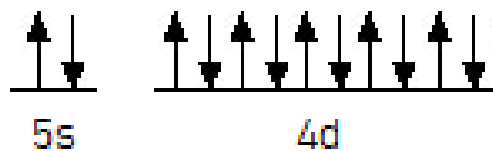
Hierro excitado $[Ar] - 3d^7 - 4s^1$



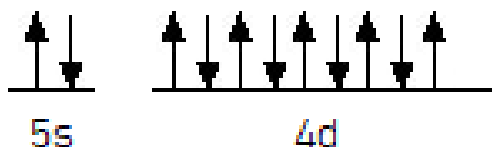
Tendrá menos energía el que presente mas espines desapareados, por lo tanto el hierro es el menos energético.

2)

Cadmio $[Kr] - 4d^{10} - 5s^2$



Ion Cadmio $[Kr] - 4d^9 - 5s^2$



El que tiene mas espines sin aparear es el ion cadmio.

5.12. Ejercicio 12

1)

Estado excitado, un electrón en el orbital 2p paso al orbital 3s

2)

Estado fundamental

3)

Estado no valido, el orbital 2s tiene 3 electrones

4)

Estado no valido, el orbital 2p tiene 7 electrones

6. Teoría cuántica del electrón libre

6.1. Ejercicio 1

- Oro metal monovalente \Rightarrow en cada átomo tengo un electrón.
- η : Densidad de electrones libres.
- $P = 197 \frac{g}{mol}$
- $\delta = 19,3 \frac{g}{cm^3}$

$$\eta = \frac{19,3 \frac{g}{cm^3}}{197 \frac{g}{mol}} * 6,02 \times 10^{22} \frac{atomos}{mol} = 5,9 \times 10^{22} \frac{atomos}{cm^3}$$

$$\Rightarrow 5,9 \times 10^{22} \frac{e}{cm^3}$$

6.2. Ejercicio 2

- Magnesio metal bivalente \Rightarrow 2 electrones por átomo.
- η : Densidad de electrones libres.
- $P = 24,32 \frac{g}{mol}$
- $\delta = 1,74 \frac{g}{cm^3}$

1)

$$\eta = \frac{1,74 \frac{g}{cm^3}}{24,32 \frac{g}{mol}} * 6,02 \times 10^{22} \frac{atomo}{mol} = 4,31 \times 10^{22} \frac{atomo}{cm^3}$$

$$\Rightarrow 4,31 \times 10^{22} \frac{atomo}{cm^3} * 2 \frac{e}{atomo} = 8,62 \times 10^{22} \frac{e}{cm^3}$$

2)

$$\eta = \int_{-\infty}^{\infty} g(E)F(E) \cdot dE = \int_0^{E_f} g(E)F(E) \cdot dE +$$

$$\int_{E_f}^{\infty} g(E)F(E) \cdot dE = \int_0^{E_f} g(E) \cdot 1 \cdot dE +$$

$$\int_{E_f}^{\infty} g(E) \cdot 0 \cdot dE = \int_0^{E_f} C\sqrt{E} \cdot dE = C\frac{2}{3}E_f^{\frac{3}{2}} \Rightarrow$$

$$E_f = \left(\frac{\eta}{C} \frac{3}{2}\right)^{\frac{2}{3}} = 7,11 eV$$

3)

$$E_f = \frac{1}{2}mv_f^2 \Rightarrow v_f = \sqrt{\frac{2E_f}{m}} = 1581473 \frac{m}{s}$$

4)

$$\lambda = \frac{h}{p} = \frac{h}{mv} = 4,6\text{\AA}$$

Comentario: A $T=0K$: $F(E) = \begin{cases} 1 & \text{si } 0 \leq E < E_f \\ 0 & \text{si } E \geq E_f \end{cases}$

Ver hoja de formulas para funciones y constantes

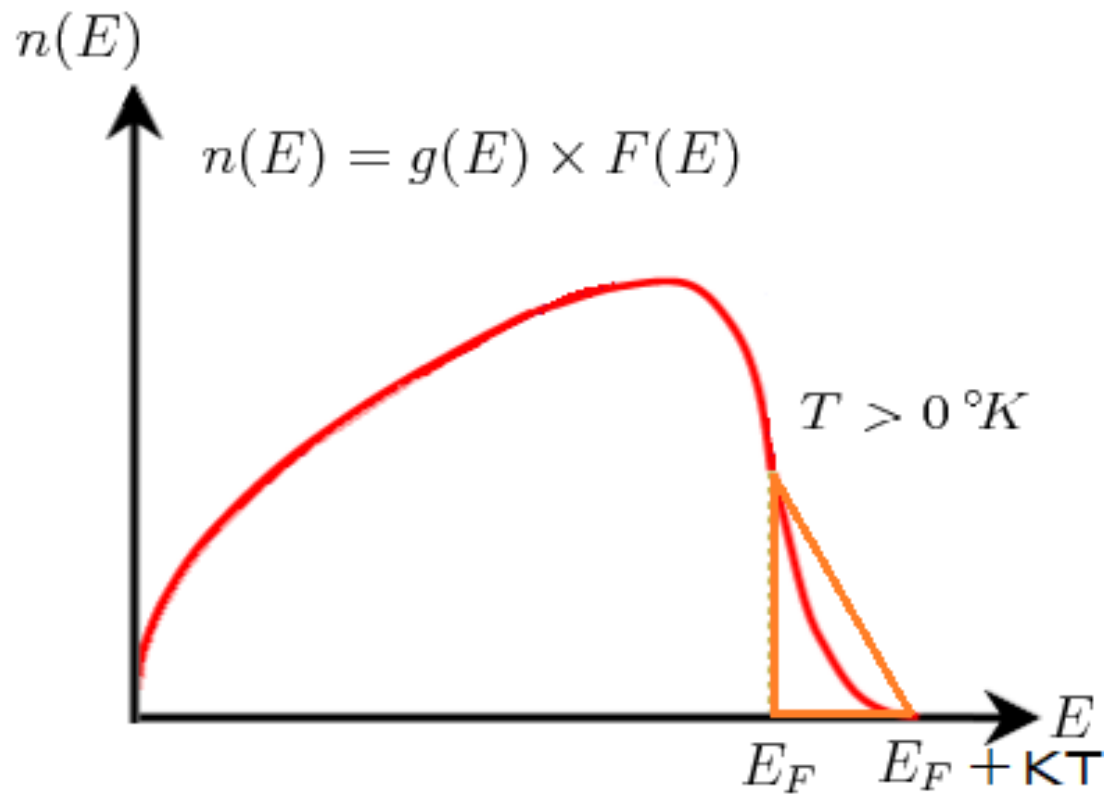
6.3. Ejercicio 3

$$E_f^{473K} = 1eV$$

$$N_{excitados} = \int_{E_f}^{\infty} g(E)F(E) \cdot dE \approx g(E_f)F(E_f)k_B T \frac{1}{2} =$$

$$C\sqrt{E_f}\frac{1}{2}k_B T \frac{1}{2} = \frac{C}{4}\sqrt{E_f}k_B T = 6,942 \times 10^{25} m^{-3}$$

Comentario: como la integral $N_{excitados}$ no tiene primitiva hacemos la aproximación por un triangulo, podemos utilizar otras aproximaciones ir a las teóricas para saber cuales son.



6.4. Ejercicio 4

$$F(E) = \frac{1}{1 + \exp\left(\frac{E - E_f}{k_b T}\right)} = \frac{1}{1 + \exp\left(\frac{\Delta E}{k_b T}\right)}$$

$$F(2k_B T + E_f) = 0,12$$

$$F(4k_B T + E_f) = 0,018$$

$$F(10k_B T + E_f) = 0,0000454$$

6.5. Ejercicio 5

Densidad de estados por unidad de volumen:

$$N_{estados} = \int_{2,4eV}^{2,6eV} g(E) \cdot dE = \int_{2,4eV}^{2,6eV} C\sqrt{E} \cdot dE = 2,15 \times 10^{27} m^{-3}$$

Numero de estados en un moneda:

$$n_{estados} = N_{estados} * (3 \times 10^{-7} m^3) = 6,45 \times 10^{20}$$

7. Teoría de bandas

7.1. Ejercicio 1

7.2. Ejercicio 2

Los electrones no tienen espacio para trasladarse a otro estado permitido dentro de la banda.

7.3. Ejercicio 3

Longitudes de onda de la luz visible: $\lambda \in [400, 700] nm$ el rango de energías de los fotones para esas longitudes es $E_f = h\nu \in [1,773, 3,102] eV$. Las energías de los fotones son menores a los gaps de KCl, KBr, KI, por lo tanto son transparentes ya que los electrones de la banda de valencia no pueden ser excitados.

Sera opacos si pueden absorber fotones de energía $E_f = h\nu$ es estos $E_f > E_g$. Ahora calculamos el rango de longitud de

onda para el cual es opaco.

$$E_f = h\nu = h\frac{c}{\lambda} > E_g \Rightarrow \lambda < h\frac{c}{E_g}$$

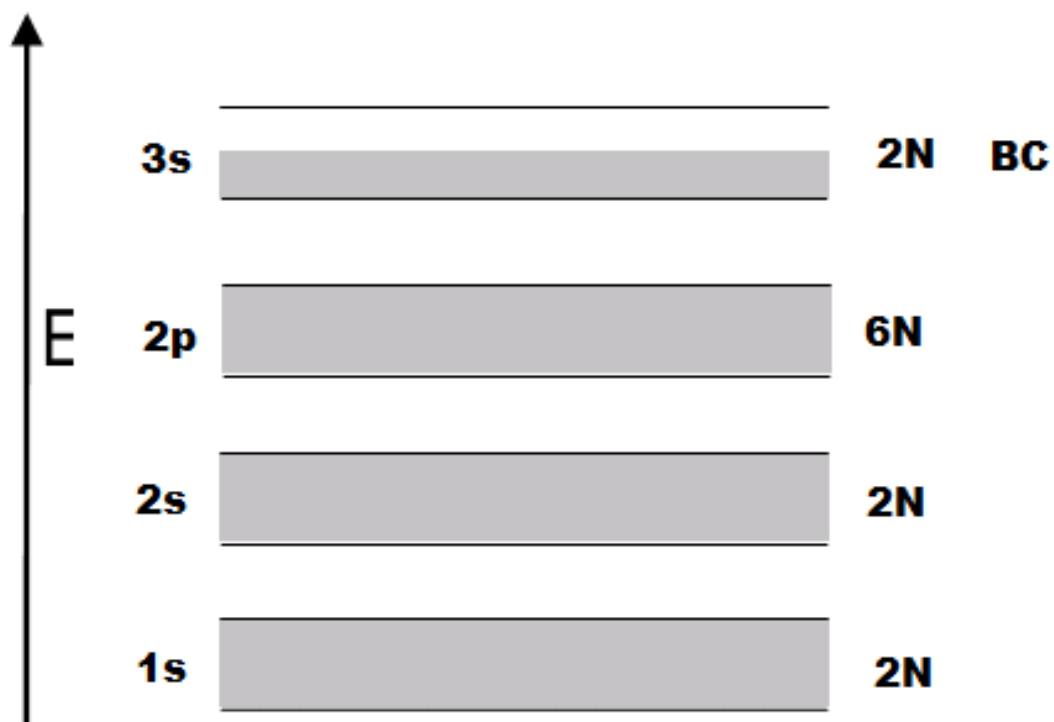
$$\underline{KCl} : \lambda < 163,25nm$$

$$\underline{KBr} : \lambda < 196,94nm$$

$$\underline{KI} : \lambda < 221,55nm$$

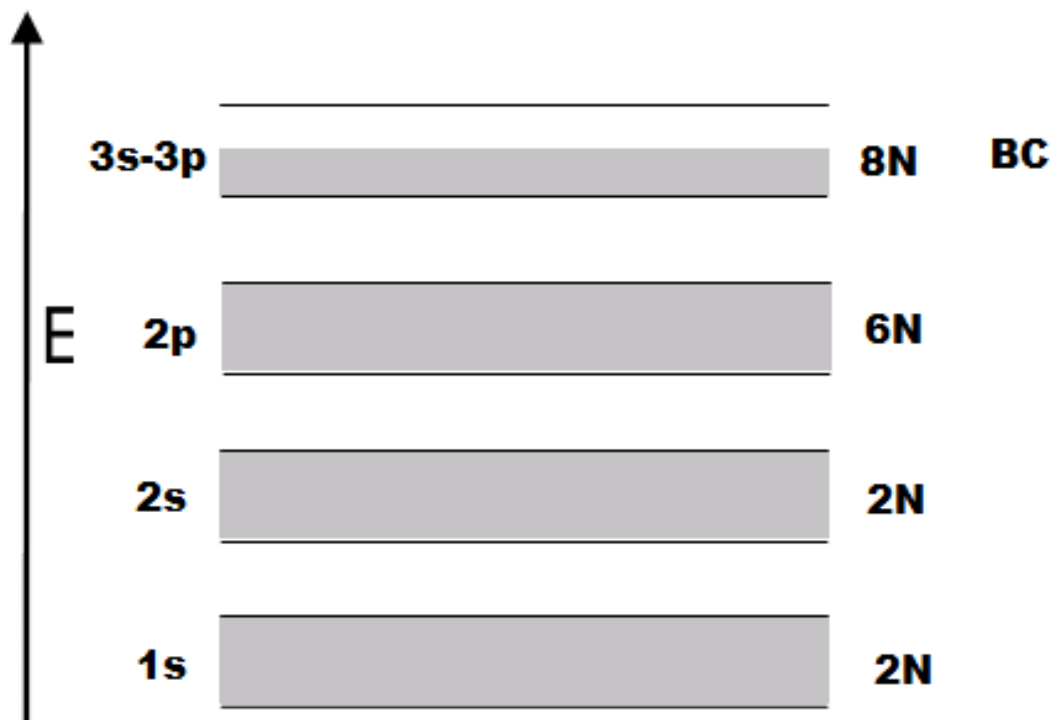
7.4. Ejercicio 4

1)



Ultima banda semi llena, es un conductor.

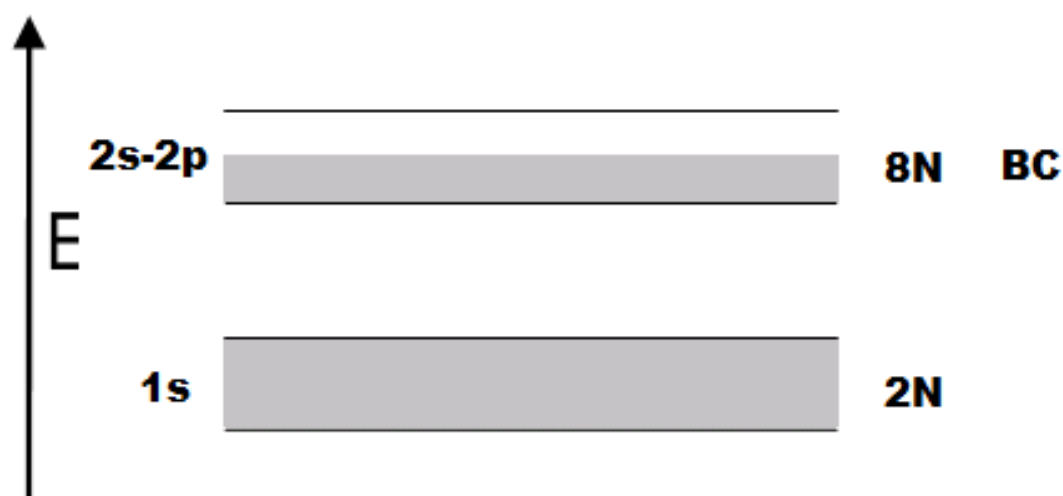
2)



Ultima banda semi llena por el solapamiento de los orbitales 3s-3p, es un conductor.

7.5. Ejercicio 5

Grafito:



Presenta un solapamiento de las bandas 2s-2p. Última banda semi llena es un conductor. Para que sea transparente $E_f < E_g = E_f < 0 = \frac{hc}{\lambda} < 0$, no tenemos longitudes de onda para el cual sea transparente. Diamante:



Presenta una hibridación de las bandas 2s-2p. Última banda vacía además la energía del gap es muy grande ($E_g \approx$

$6eV$) entonces es un aislante. Para que sea transparente $E_f < E_g = E_f < 6eV = \frac{hc}{\lambda} < 6eV \Rightarrow \lambda > 206,64nm$.

7.6. Ejercicio 6

ccc

7.7. Ejercicio 8

Ejercicio para consultar en clase, muy teórico

8. Semiconductores

8.1. Ejercicio 1

f

9. Juntura p-n

9.1. Ejercicio 1

- V_c : Potencial de contacto.
- E_{fn}, E_{fp} : Energía de fermi del lado n y el lado p respectivamente.
- x_n, x_p : Ancho de la región de carga del lado n y el lado p respectivamente.
- w : Ancho total de la región de carga.
- $\rho(x)$: Densidad de carga
- ϵ : Permitividad del material

1)

Lado n

$$n_n + N_A^- = p_n + N_D^+$$

$$n_n + \cancel{N_A} = p_n + N_D^+$$

a $T=300K$ tenemos ionización completa, $N_D^+ = N_D$

$$n_n = p_n + N_D$$

$$n_n^2 = n_n p_n + n_n N_D$$

$$n_n^2 - n_n N_D - n_i^2 = 0$$

$$\Rightarrow n_n = \frac{N_D}{2} + \sqrt{\left(\frac{N_D}{2}\right)^2 + n_i^2} = 1,214 \times 10^{16} m^{-3}$$

Lado p

Trabajamos igual que en el lado n llegamos a:

$$p_p = \frac{N_A}{2} + \sqrt{\left(\frac{N_A}{2}\right)^2 + n_i^2}, \text{ Como } N_A \gg n_i, n_i \text{ es despreciable}$$

$$p_p \approx N_A = 4 \times 10^{19} m^{-3}$$

 E_f Lado n

$$n_n = N_c \exp\left(\frac{-(E_g - E_{fn})}{kT}\right) \Rightarrow E_{fn} = E_g + kT \ln\left(\frac{n_n}{N_c}\right)$$

 E_f Lado p

$$p_p = N_v \exp\left(\frac{-E_{fp}}{kT}\right) \Rightarrow E_{fp} = -kT \ln\left(\frac{p_p}{N_v}\right)$$

Finalmente V_c

$$eV_c = E_{fn} - E_{fp} \Rightarrow V_c = \frac{E_{fn} - E_{fp}}{e} = 0,212V$$

2)

$$w = \sqrt{\frac{2}{e}\epsilon V_c \left(\frac{1}{N_D} + \frac{1}{N_A} \right)} = 5,3027 \times 10^{-4} m$$

$$N_D x_n = N_A x_p \Rightarrow x_p = x_n \frac{N_D}{N_A} \quad (1)$$

$$w = x_n + x_p \quad (2)$$

(1) en (2)

$$w = x_n + x_n \frac{N_D}{N_A} \Rightarrow x_n = w \frac{1}{1 + \frac{N_D}{N_A}} = 5,3026 \times 10^{-4} m$$

$$x_p = 1,325 \times 10^{-8} m$$

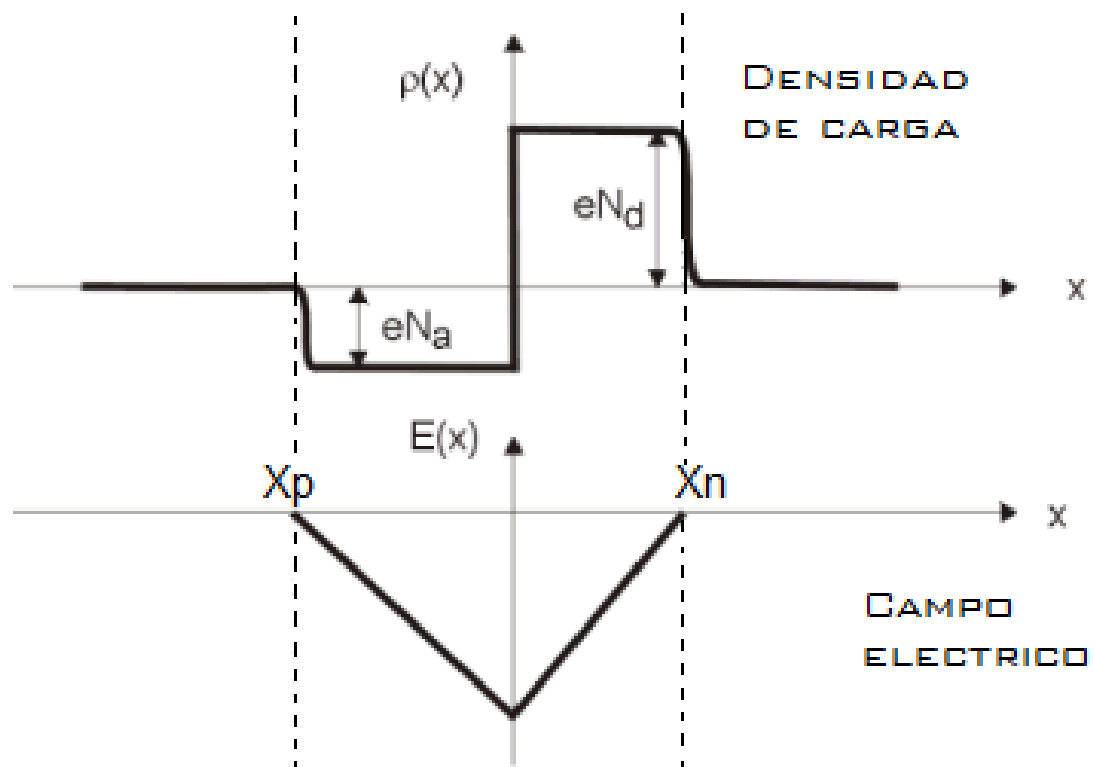
3)

$$\begin{aligned}\frac{\delta E(x)}{\delta x} &= \frac{\rho(x)}{\epsilon} \\ \frac{\delta E(x)}{\delta x} &= \begin{cases} \frac{eN_D}{\epsilon} & \text{si } 0 \leq x \leq x_n \\ \frac{-eN_A}{\epsilon} & \text{si } -x_p \leq x \leq 0 \end{cases} \Rightarrow \\ E(x) &= \begin{cases} \frac{eN_D}{\epsilon}x + C & \text{si } 0 \leq x \leq x_n \\ \frac{-eN_A}{\epsilon}x + D & \text{si } -x_p \leq x \leq 0 \end{cases} \\ E(x_n) = 0 &\Rightarrow C = -\frac{eN_D}{\epsilon}x_n \\ E(-x_p) = 0 &\Rightarrow D = -\frac{eN_A}{\epsilon}x_p \\ E(x) &= \begin{cases} \frac{eN_D}{\epsilon}(x - x_n) & \text{si } 0 \leq x \leq x_n \\ \frac{-eN_A}{\epsilon}(x_p + x) & \text{si } -x_p \leq x \leq 0 \end{cases}\end{aligned}$$

El máximo lo tengo en $x=0$

$$|E(0)| = \left| -\frac{e}{\epsilon}N_Dx_n \right| = \left| -\frac{e}{\epsilon}N_Ax_p \right| = 799 \frac{V}{m}$$

Comentario: Ver hojas de formulas para las funciones utilizadas.



9.2. Ejercicio 2

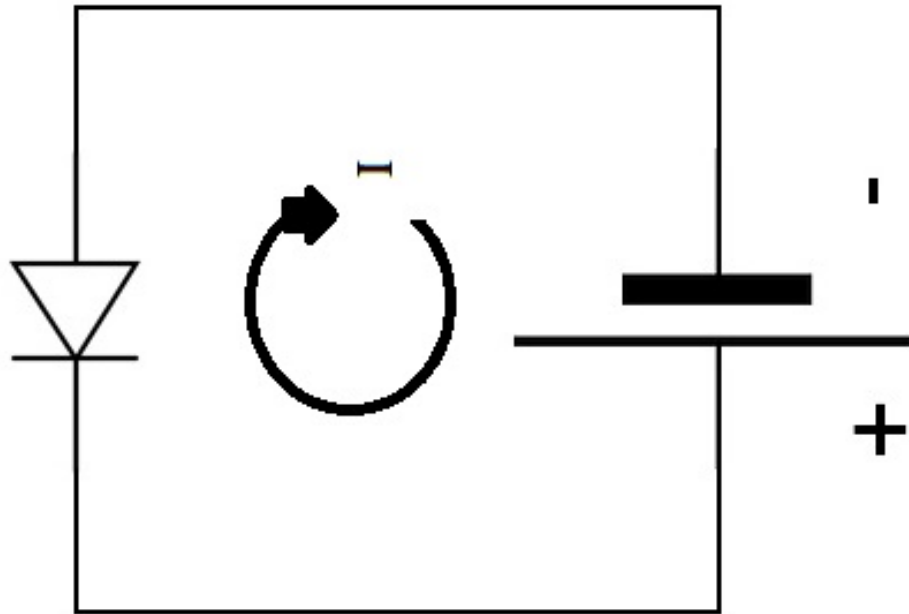


Figura 1: Diodo conectado en inversa.

- $I=0.01\mu A$, Corriente a través de la unión p-n
- Conectado en inversa $\Rightarrow V_{aplicado} < 0$
- Conectado en directa $\Rightarrow V_{aplicado} > 0$

$$I = I_0(\exp(\frac{eV_{aplicado}}{kT}) - 1) \Rightarrow I_0 = \frac{I}{\exp(\frac{eV_{aplicado}}{kT}) - 1}$$

Además tenemos: $\exp(\frac{-10eV}{kT}) \approx 0$

$$I_0 = -I \Rightarrow |I_0| = I = 0,01\mu A$$

Ahora solo queda calcular:

$$I(0,1V) = I_0(\exp(\frac{0,1eV}{kT}) - 1) = 0,46855\mu A$$

$$I(0,3V) = I_0(\exp(\frac{0,3eV}{kT}) - 1) = 1095,91\mu A$$

$$I(0,5V) = I_0(\exp(\frac{0,5eV}{kT}) - 1) = 2509748,7\mu A$$

9.3. Ejercicio 3

$$I = I_0(\exp(\frac{eV_{aplicado}}{kT}) - 1)$$

$$1) I = 5 \times 10^{-9} A (\exp(\frac{0,45eV}{k_b 300K}) - 1) = 0,1809 A$$

$$2) I = 5 \times 10^{-9} A (\exp(\frac{0,45eV}{k_b 320K}) - 1) = 0,0611 A$$

9.4. Ejercicio 4

- $E_c - E_{fp} = 1eV$, Nivel de fermi por debajo de la banda de conducción
- Si ponemos $E_v = 0$ entonces $E_c = E_g$

$$I_0 = D \exp(-\frac{E_g - E_{fp}}{kT})$$

1)

$$5 \times 10^{-9} A = D \exp\left(-\frac{1eV}{k_b 300K}\right) \Rightarrow D = \frac{5 \times 10^{-9} A}{\exp\left(-\frac{1eV}{k_b 300K}\right)} =$$

$$= 314941929,1 A$$

$$I_0^{320K} = D \exp\left(-\frac{1eV}{k_b 320K}\right) = 5,6097 \times 10^{-8} A$$

2)

$$I = 5,6097 \times 10^{-8} A \left(\exp\left(\frac{0,45eV}{k_b 320K}\right) - 1 \right) = 0,685 A$$

9.5. Ejercicio 5

La corriente inversa de saturación en un diodo de Si es el doble cuando la temperatura cambia de $T = 27^\circ C$ a $T = 33^\circ C$ esto es $2I_0^{300K} = I_0^{306K}$

$$I_0 = D \exp\left(-\frac{E_g - E_{fp}}{k_b T}\right)$$

$$\frac{I_0^{306K}}{I_0^{300K}} = \frac{D \exp\left(-\frac{E_g - E_{fp}}{k_b 306K}\right)}{D \exp\left(-\frac{E_g - E_{fp}}{k_b 300K}\right)}$$

$$\frac{2I_0^{300K}}{I_0^{300K}} = \exp\left(-\frac{E_g - E_{fp}}{k_b 306K} + \frac{E_g - E_{fp}}{k_b 300K}\right)$$

$$\ln(2) = -\frac{E_g - E_{fp}}{k_b 306K} + \frac{E_g - E_{fp}}{k_b 300K}$$

$$300K \cdot 306K \cdot k_b \cdot \ln(2) = 300K(E_{fp} - E_g) + 306K(E_g - E_{fp})$$

$$91800K^2 \cdot k_b \cdot \ln(2) = 6K(E_g - E_{fp})$$

$$E_{fp} = E_g - 15300K \cdot k_b \cdot \ln(2) = 0,2066eV$$

Comentario: Podemos utilizar todos los datos de la tabla de la guía 9.

9.6. Ejercicio 6

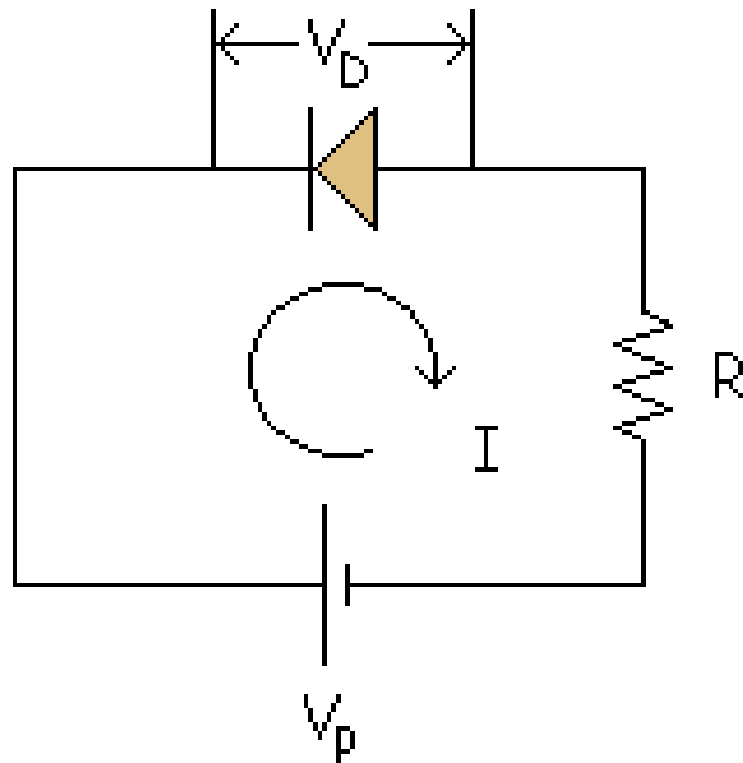
- I: Corriente sobre el circuito
- V_D : Tensión aplicada sobre el diodo
- La corriente sobre el diodo es I por que esta conectado en directa.

$$V = V_R + V_D \Rightarrow V_D = 5V - 4,6V = 0,4V$$

$$V_R = IR \Rightarrow I = \frac{V_R}{R} = 9,2 \times 10^{-4} A$$

$$I = I_0 \left(\exp \left(\frac{V_{aplicado} e}{kT} \right) - 1 \right) \Rightarrow I_0 = \frac{I}{\exp \left(\frac{V_{aplicado} e}{kT} \right) - 1} =$$
$$= \frac{9,2 \times 10^{-4} A}{\exp \left(\frac{0,4 eV}{kT} \right) - 1} = 1,7542 \times 10^{-10} A$$

9.7. Ejercicio 7



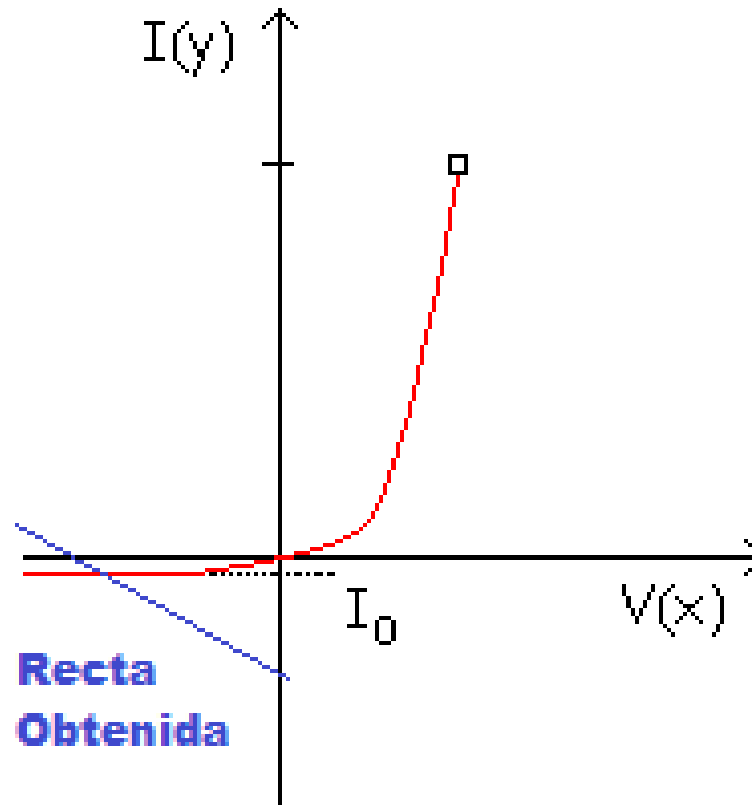
$$I = -I_D$$

$$V_R = RI$$

$$V_P = V_R - V_D$$

Obtenemos: $I_D = -\frac{V_P + V_D}{R}$ es una recta, además tenemos

$$I_D = I_0 \exp\left(\frac{V_D e}{k_b T} - 1\right) \Rightarrow -\frac{V_P + V_D}{R} = I_0 \exp\left(\frac{V_D e}{k_b T} - 1\right)$$



$\exp\left(\frac{V_{De}}{k_b T}\right) \approx 0$ entonces la tensión sobre la resistencia es
 $V_R = I_0 R = 8,77 \times 10^{-7} V$

Comentario: I_0 Se utiliza la del ejercicio anterior

9.8. Ejercicio 8

Reemplazar el diodo por una resistencia en el ejercicio anterior

$$V_P = V_R + V_{D-R} \Rightarrow V_{D-R} = V_P - V_R = V_P - I_0 R$$

$$\Rightarrow R_{D-R} = \frac{V_P - I_0 R}{I_0} = 2,85 \times 10^{10} \Omega$$

9.9. Ejercicio 9

Ejercicio para consultar en clase, muy teórico.

10. Apendice

10.1. Guía 6

Estados cuánticos con su energía para el pozo cubico.

$$\begin{aligned}(n_x, n_y, n_z, m_s) &\rightarrow E \\ (1, 1, 1, \pm \frac{1}{2}) &\rightarrow 3E_a \\ (1, 1, 2, \pm \frac{1}{2}) &\rightarrow 6E_a \\ (1, 2, 1, \pm \frac{1}{2}) &\rightarrow 6E_a \\ (2, 1, 1, \pm \frac{1}{2}) &\rightarrow 6E_a \\ (1, 2, 2, \pm \frac{1}{2}) &\rightarrow 9E_a \\ (2, 1, 2, \pm \frac{1}{2}) &\rightarrow 9E_a \\ (2, 2, 1, \pm \frac{1}{2}) &\rightarrow 9E_a \\ (1, 1, 3, \pm \frac{1}{2}) &\rightarrow 11E_a \\ (1, 3, 1, \pm \frac{1}{2}) &\rightarrow 11E_a \\ (3, 1, 1, \pm \frac{1}{2}) &\rightarrow 11E_a \\ (2, 2, 2, \pm \frac{1}{2}) &\rightarrow 12E_a\end{aligned}$$